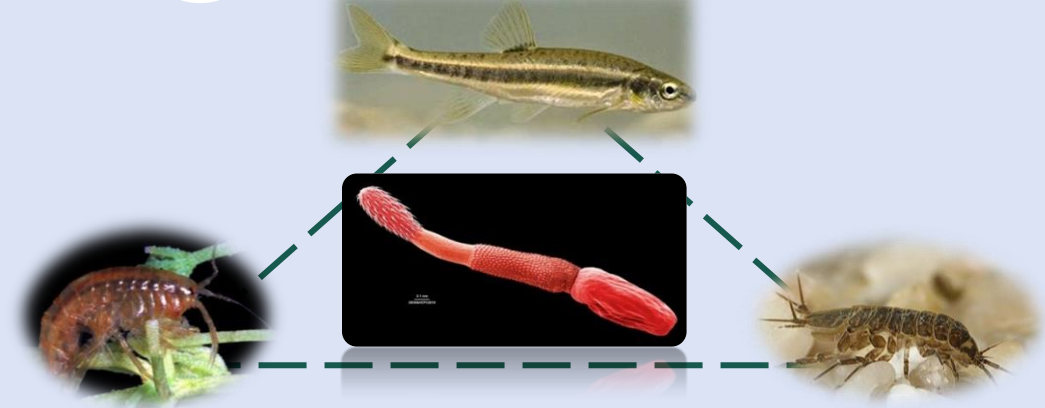


Le parasitisme de la proie affecte les dynamiques proies-prédateur et l'évolution du régime du prédateur



Loïc Prosnier, Vincent Médoc & Nicolas Loeuille

Institut d'Écologie et des Sciences de l'Environnement
École doctorale 227 (UPMC-MNHN)

Chaire MMB,
école de printemps d'Aussois
7 juin 2016

Introduction



- **3 observations:**
 - Réseaux trophiques
 - Parasitisme dans les réseaux
 - Le parasitisme

Introduction



- 3 observations:
 - Réseaux trophiques
 - Parasitisme dans les réseaux
 - Le parasitisme

Études des réseaux trophiques



Coexistence

Stabilité

Études des réseaux trophiques : coexistence



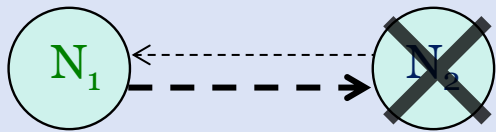
Coexistence

Stabilité

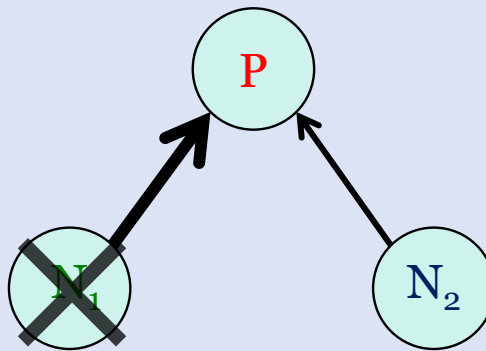
Études des réseaux trophiques : coexistence



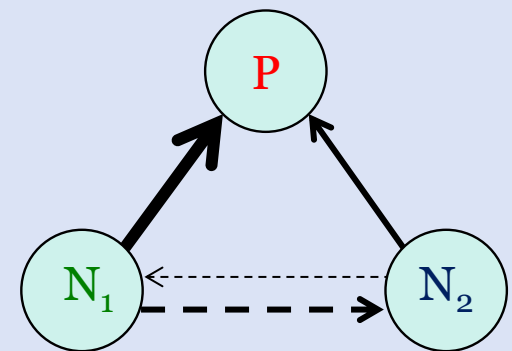
- Conditions de coexistence
 - Compétition pour les ressources (Gause 1935)
 - Compétition apparente (Holt 1977)



Compétition pour les ressources
(Gause 1935)



Compétition apparente
(Holt 1977)

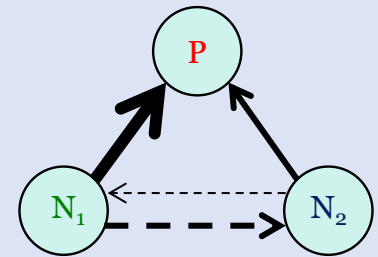


Double compétition
(Holt *et al.* 1994)

Études des réseaux trophiques : coexistence



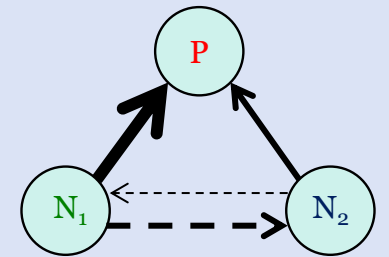
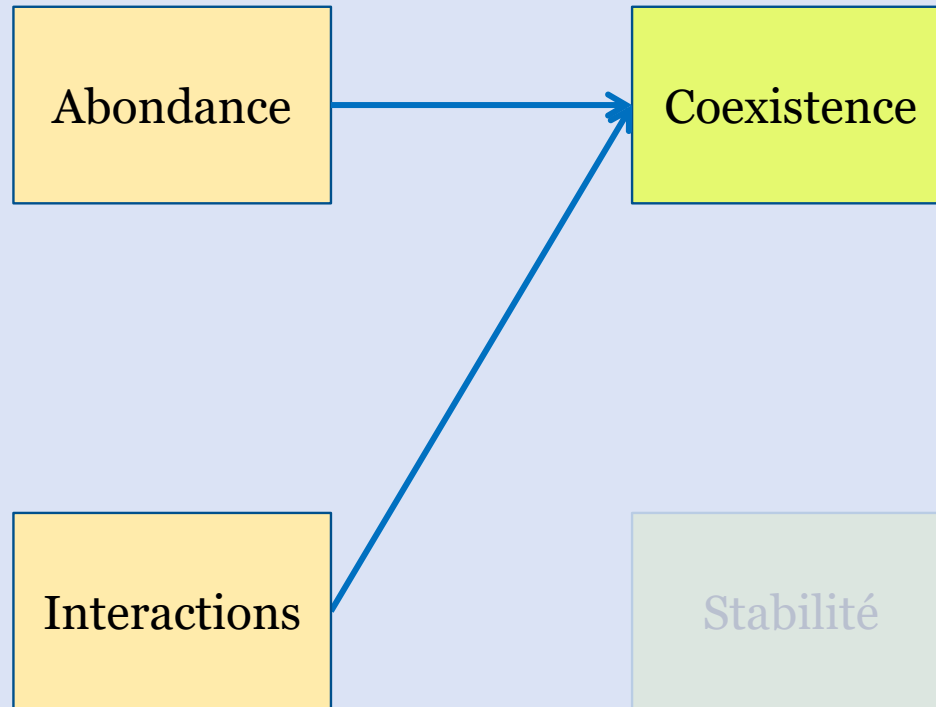
Coexistence



Double compétition
(Holt *et al.* 1994)

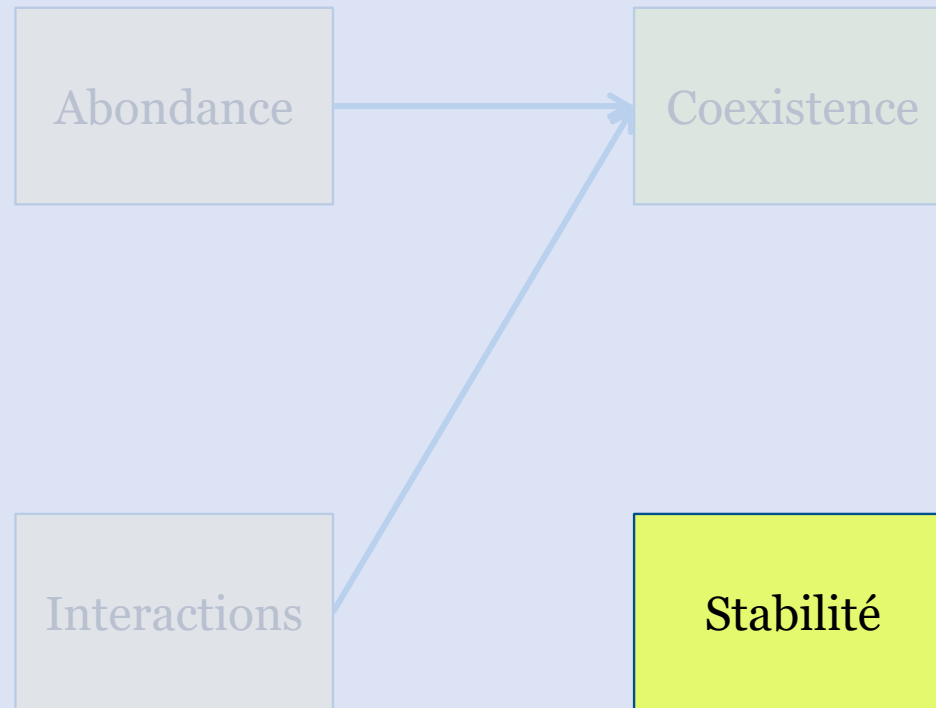
Stabilité

Études des réseaux trophiques : coexistence



Double compétition
(Holt *et al.* 1994)

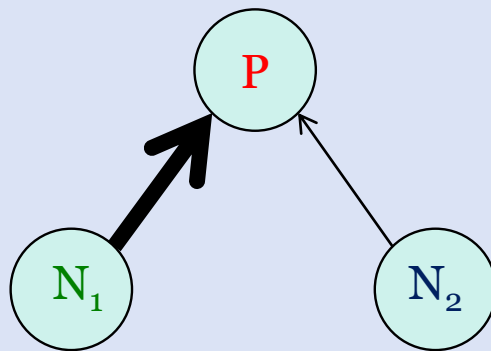
Études des réseaux trophiques : stabilité



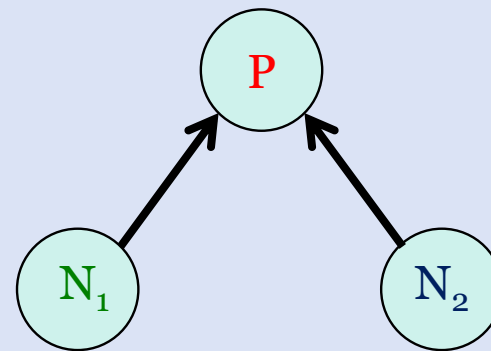
Études des réseaux trophiques : stabilité



- Stabilité
 - Hétérogénéité des forces d'interactions (McCann *et al.* 1998)

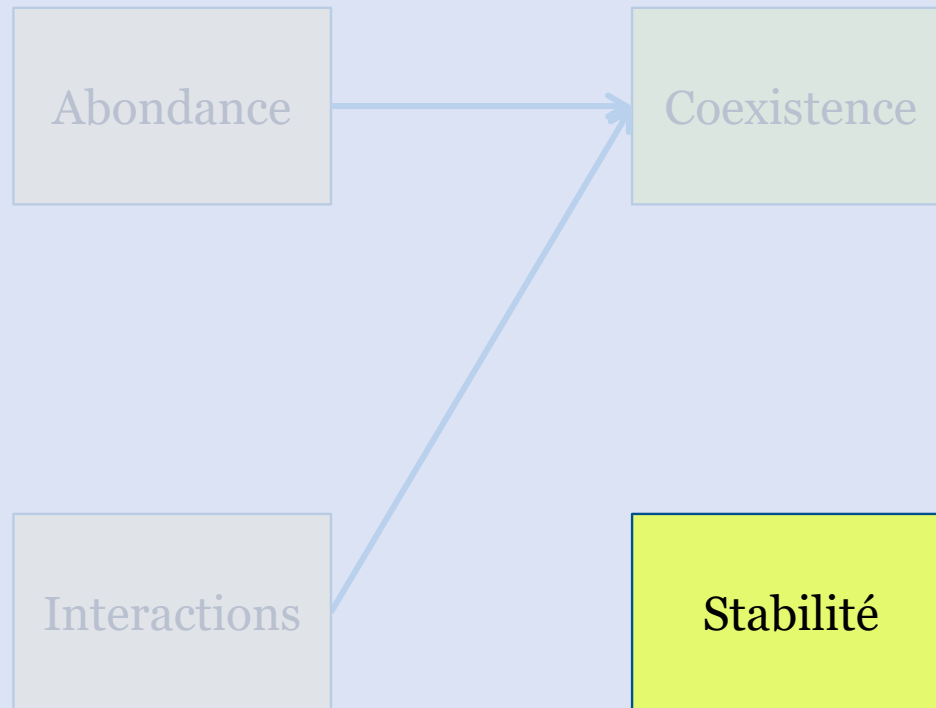


Hétérogène :
stable

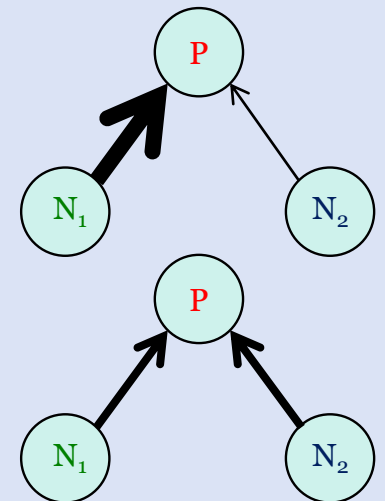


Homogène :
instable

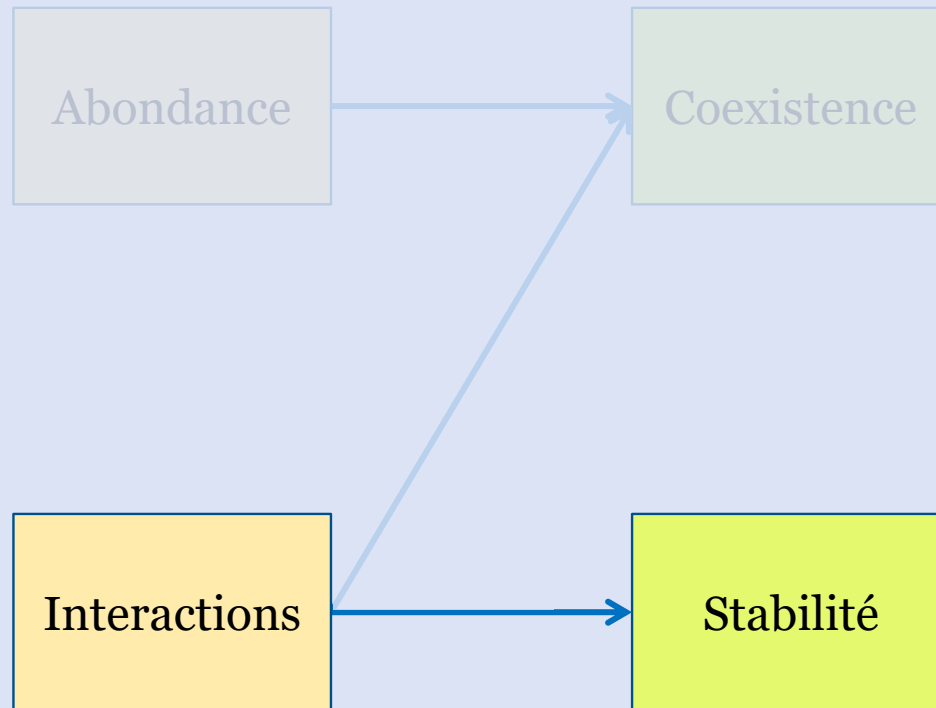
Études des réseaux trophiques : stabilité



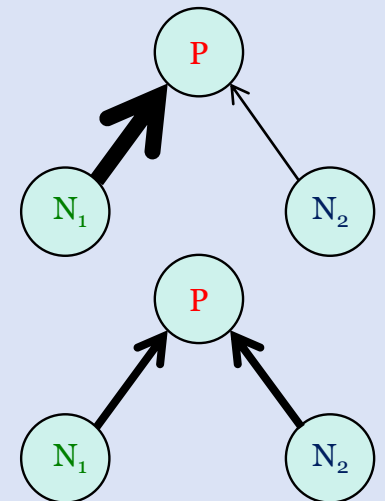
Hétérogénéité des interactions
(McCann *et al.* 1998)



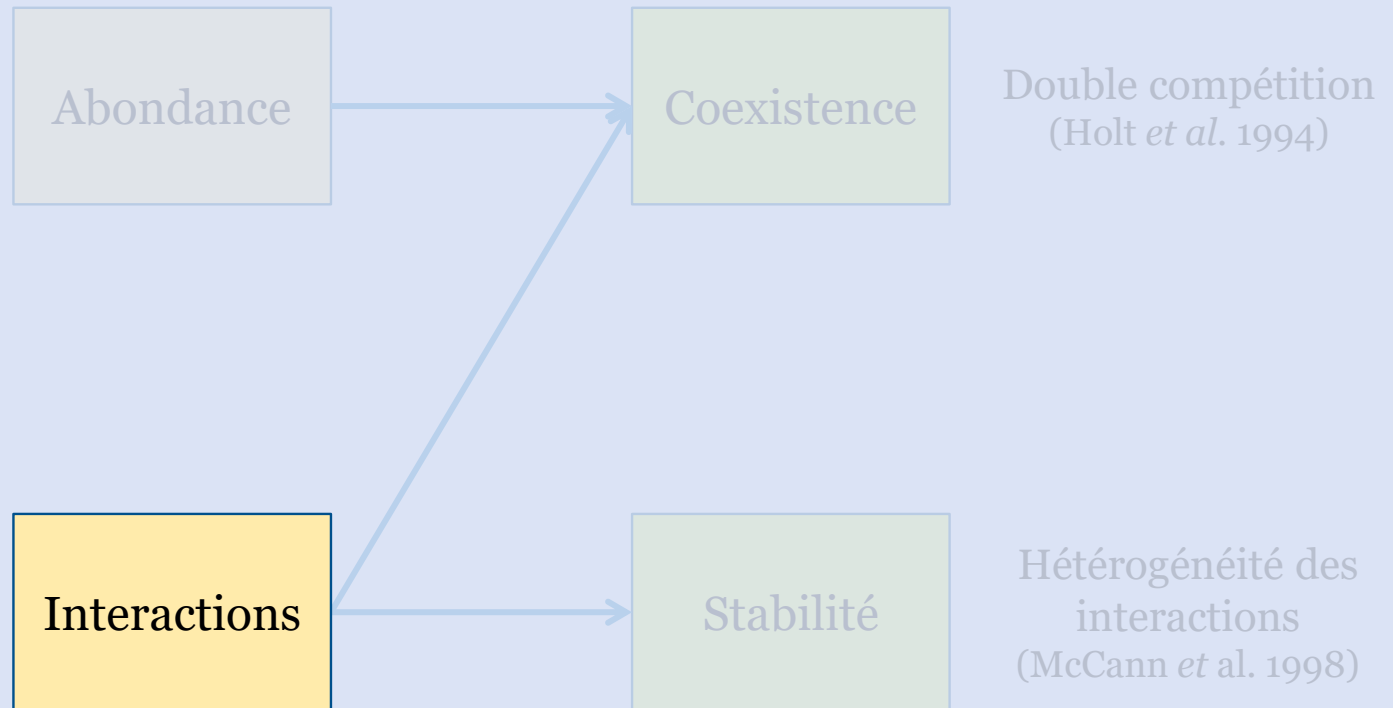
Études des réseaux trophiques : stabilité



Hétérogénéité des interactions
(McCann *et al.* 1998)



Études des réseaux trophiques



Études des réseaux trophiques : interactions



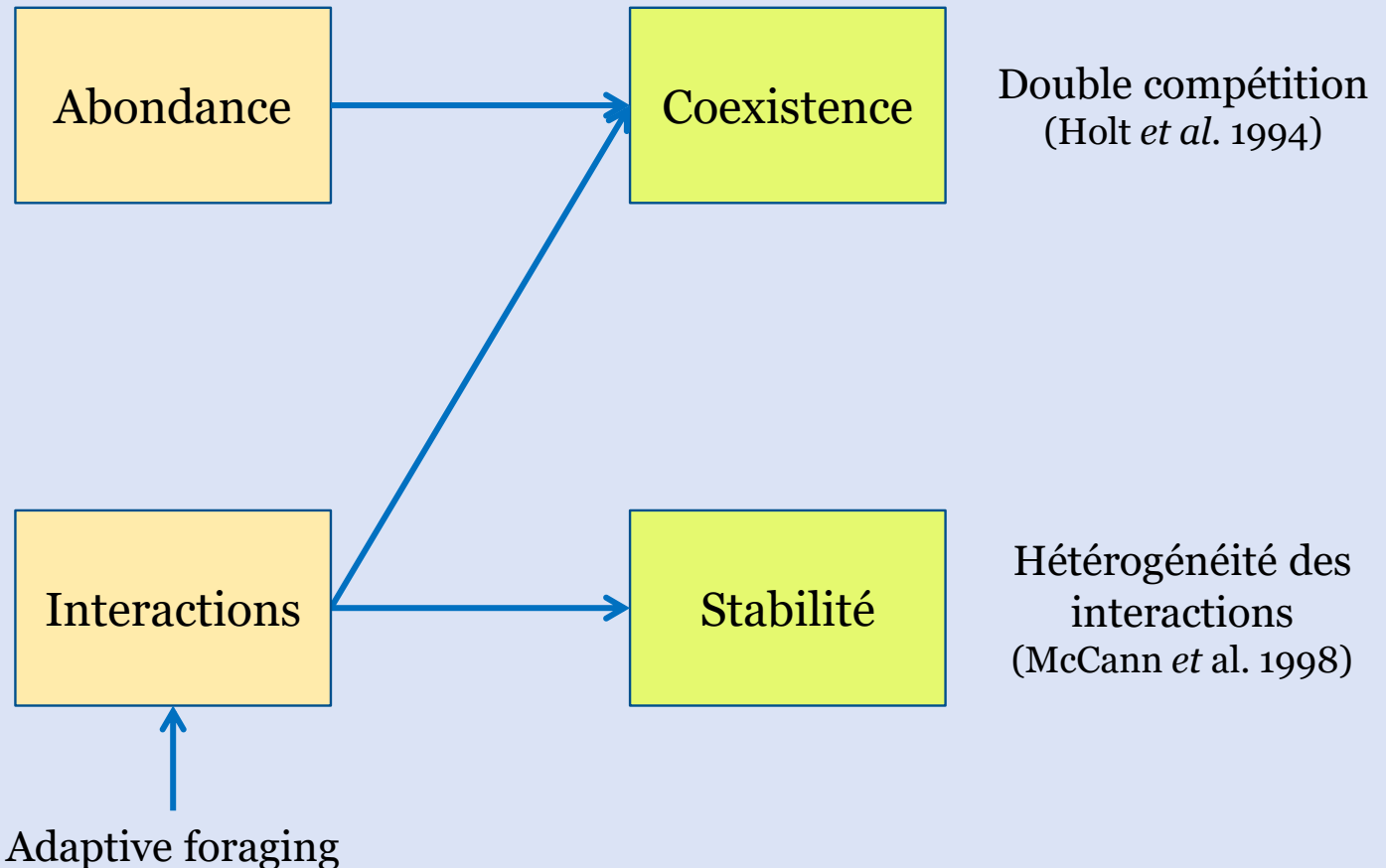
- Distribution des forces d'interactions
 - Proie-dépendance: Optimal Foraging (MacArthur & Pianka 1966 ; Charnov 1976 ; Pyke *et al.* 1977)

Études des réseaux trophiques : interactions



- Distribution des forces d'interactions
 - Proie-dépendance: Optimal Foraging (MacArthur & Pianka 1966 ; Charnov 1976 ; Pyke *et al.* 1977)
 - Multi-facteurs-dépendant : Adaptive foraging
Adaptation du régime du prédateur (Loeuille 2010)

Études des réseaux trophiques



Introduction



- 3 observations:
 - Réseaux trophiques
 - Parasitisme dans les réseaux
 - Le parasitisme

Parasitisme dans les réseaux

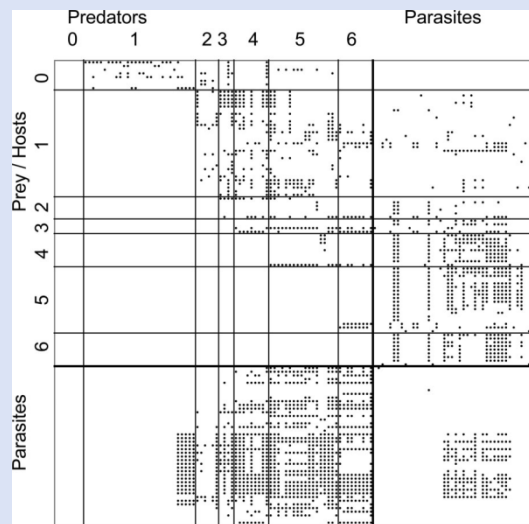


- Importance du parasitisme
 - Biomasse
(Kuris *et al.* 2008)

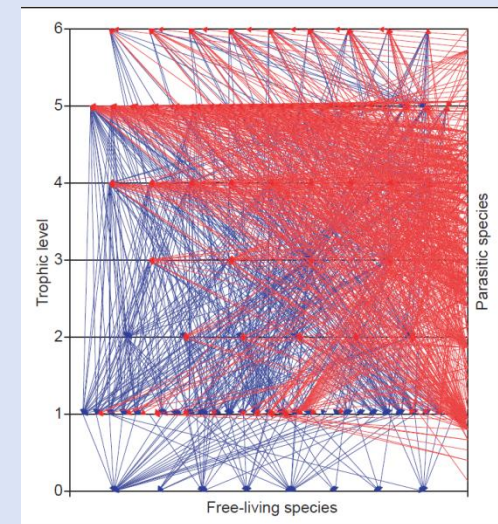
Parasitisme dans les réseaux



- Importance du parasitisme
 - Biomasse
(Kuris *et al.* 2008)
- Interactions



(Lafferty *et al.* 2006)



(Hudson *et al.* 2006)

Introduction



- 3 observations:
 - Réseaux trophiques
 - Parasitisme dans les réseaux
- Le parasitisme

Influence du parasitisme



Influence du parasitisme

Effet virulence

- ↗ mortalité
 - ↘ reproduction
- (Schwartz & Cameron 1993)



Daphnia obtusa

Influence du parasitisme

Effet virulence

- ↗ mortalité
- ↘ reproduction
(Schwartz & Cameron 1993)



Daphnia obtusa

Effet interaction

- ↗ besoins énergétiques
(prédateur parasité)
(Dick *et al.* 2010)



Gammarus pulex

- ↗ vulnérabilité
(proie parasitée)
(Médoc & Beisel, 2011)



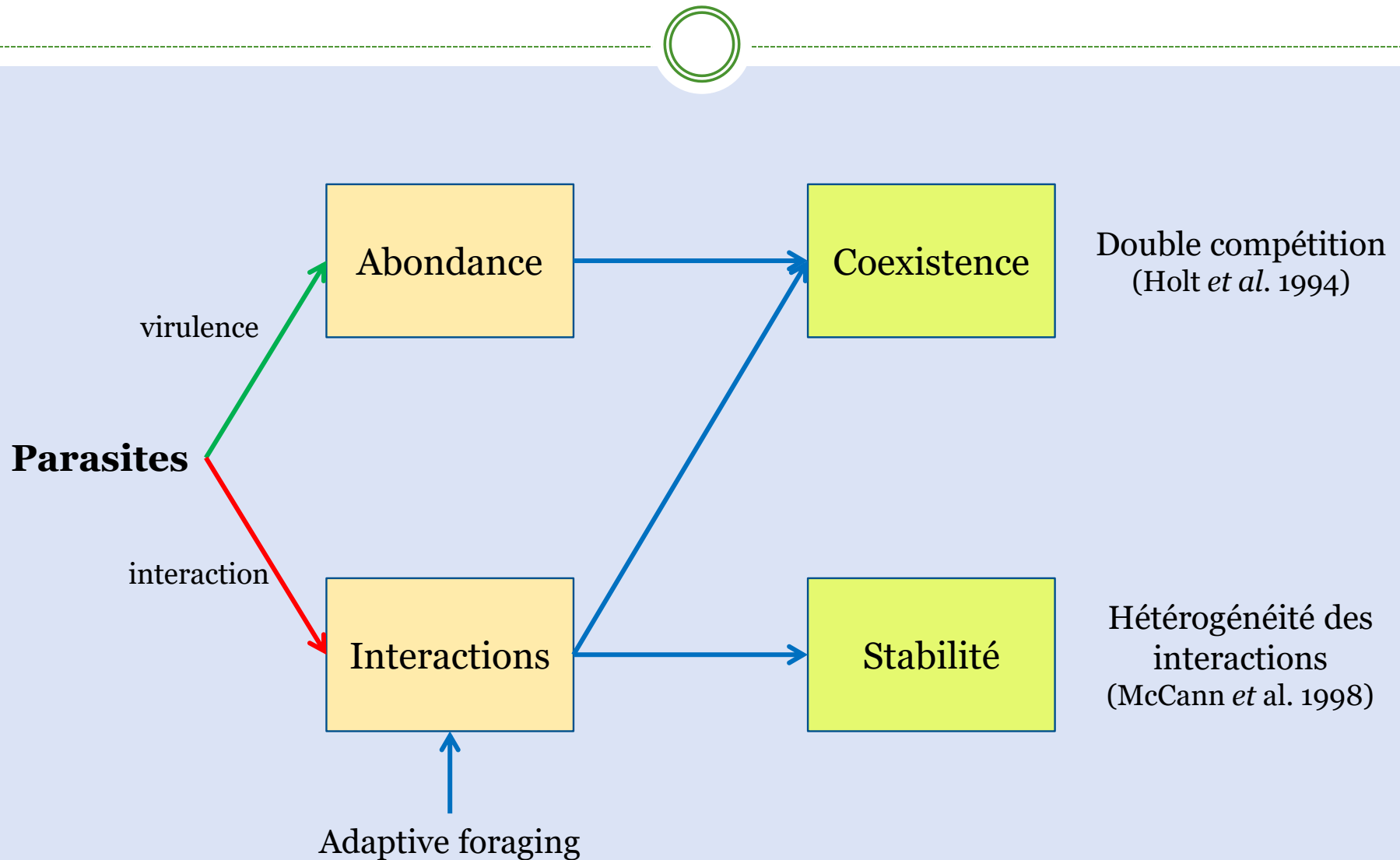
Asellus aquaticus

Introduction



- 3 observations:
 - Réseaux trophiques
 - Parasitisme dans les réseaux
 - Le parasitisme

Influence du parasitisme



Le modèle

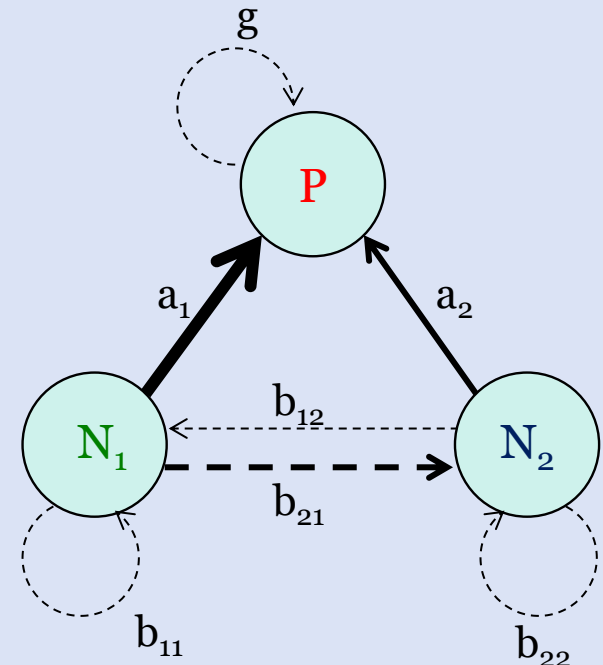


Le modèle



- Modèle d'Hutson & Vickers (1983)

$$\begin{cases} \frac{dN_1}{dt} = N_1(r_1 - b_{11}N_1 - b_{12}N_2 - a_1P) \\ \frac{dN_2}{dt} = N_2(r_2 - b_{21}N_1 - b_{22}N_2 - a_2P) \\ \frac{dP}{dt} = P(ea_1N_1 + ea_2N_2 - m - gP) \end{cases}$$



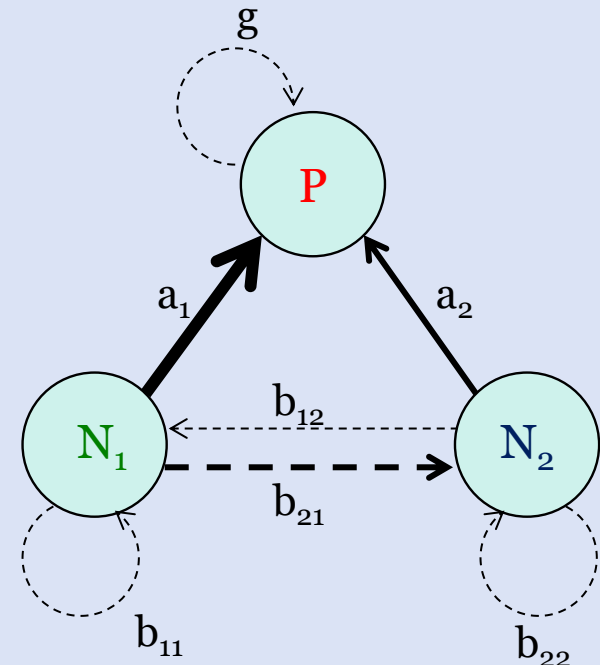
- Deux proies
 - Compétition intra and interspécifique
- Un prédateur
 - Réponse fonctionnelle de type I
 - Compétition interspécifique

Le modèle



- Modèle d'Hutson & Vickers (1983)

$$\begin{cases} \frac{dN_1}{dt} = N_1(r_1 - b_{11}N_1 - b_{12}N_2 - a_1P) \\ \frac{dN_2}{dt} = N_2(r_2 - b_{21}N_1 - b_{22}N_2 - a_2P) \\ \frac{dP}{dt} = P(ea_1N_1 + ea_2N_2 - m - gP) \end{cases}$$



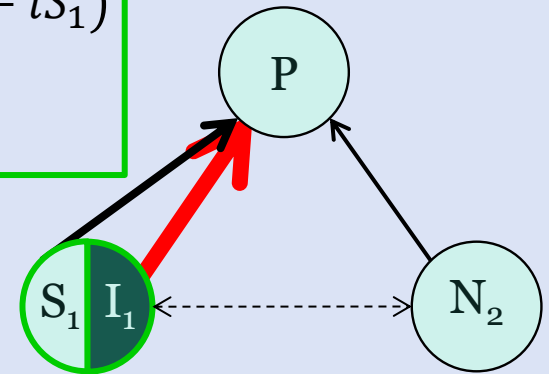
- Deux proies
 - Compétition intra and interspécifique
- Un prédateur
 - Réponse fonctionnelle de type I
 - Compétition interspécifique

Le modèle structuré



- Structuration de la proie en Susceptible et Infectés

$$\begin{cases} \frac{dS_1}{dt} = S_1(f_1 - m_1 - b_{11}N_1 - b_{12}N_2 - a_1P) + I_1((f_1 - n) - iS_1) \\ \frac{dI_1}{dt} = I_1(iS_1 - b_{11}N_1 - b_{12}N_2 - (a_1 + j)P - m_1) \\ \frac{dN_2}{dt} = N_2(r_2 - b_{21}N_1 - b_{22}N_2 - a_2P) \\ \frac{dP}{dt} = P(ea_1N_1 + ejI_1 + ea_2N_2 - m - gP) \end{cases}$$



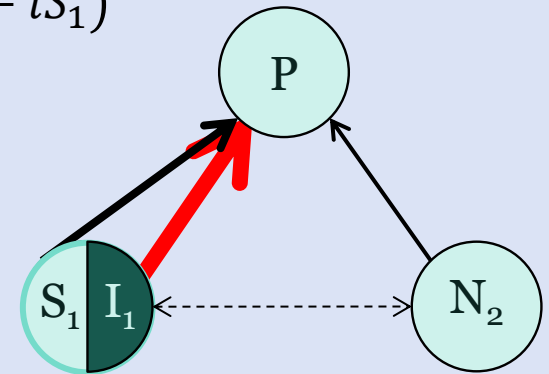
- Virulence, n
- Vulnérabilité, j

Le modèle structuré



- Structuration de la proie en Susceptible et Infectés

$$\begin{cases} \frac{dS_1}{dt} = S_1(f_1 - m_1 - b_{11}N_1 - b_{12}N_2 - a_1P) + I_1((f_1 - n) - iS_1) \\ \frac{dI_1}{dt} = I_1(iS_1 - b_{11}N_1 - b_{12}N_2 - (a_1 + j)P - m_1) \\ \frac{dN_2}{dt} = N_2(r_2 - b_{21}N_1 - b_{22}N_2 - a_2P) \\ \frac{dP}{dt} = P(ea_1N_1 + ejI_1 + ea_2N_2 - m - gP) \end{cases}$$



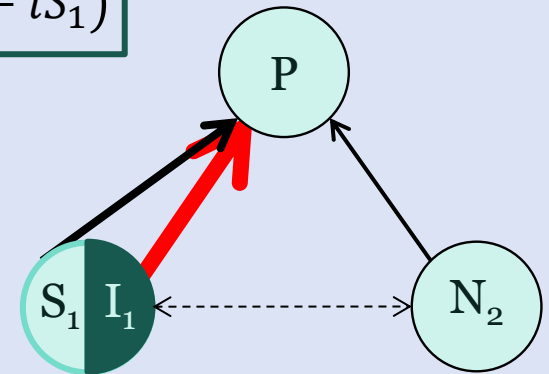
- Virulence, n
- Vulnérabilité, j

Le modèle structuré



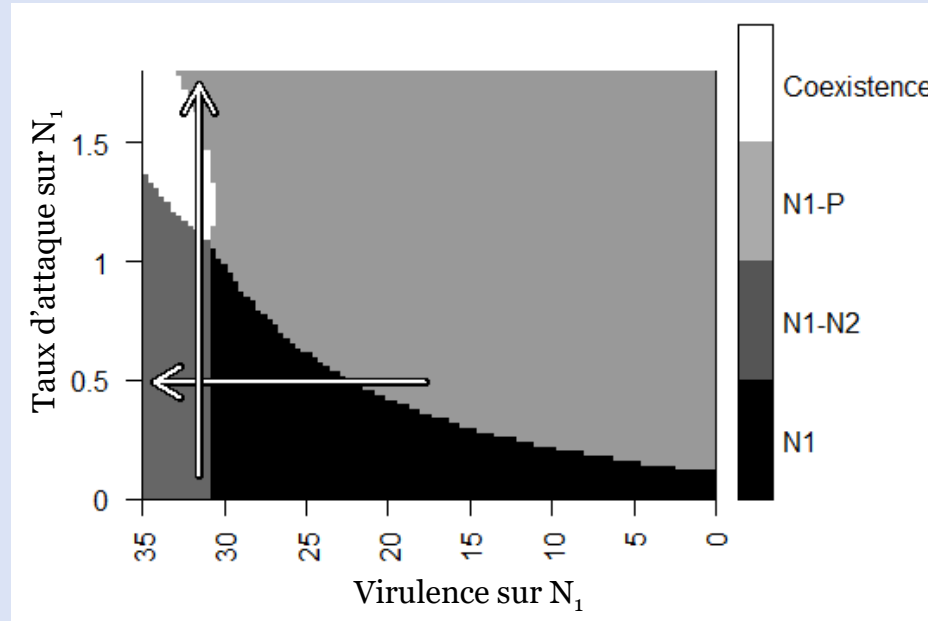
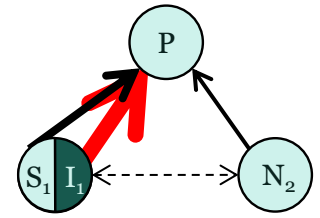
- Structuration de la proie en Susceptible et Infectés

$$\begin{cases} \frac{dS_1}{dt} = S_1(f_1 - m_1 - b_{11}N_1 - b_{12}N_2 - a_1P) + I_1((f_1 - n) - iS_1) \\ \frac{dI_1}{dt} = I_1(iS_1 - b_{11}N_1 - b_{12}N_2 - (a_1 + j)P - m_1) \\ \frac{dN_2}{dt} = N_2(r_2 - b_{21}N_1 - b_{22}N_2 - a_2P) \\ \frac{dP}{dt} = P(ea_1N_1 + ejI_1 + ea_2N_2 - m - gP) \end{cases}$$

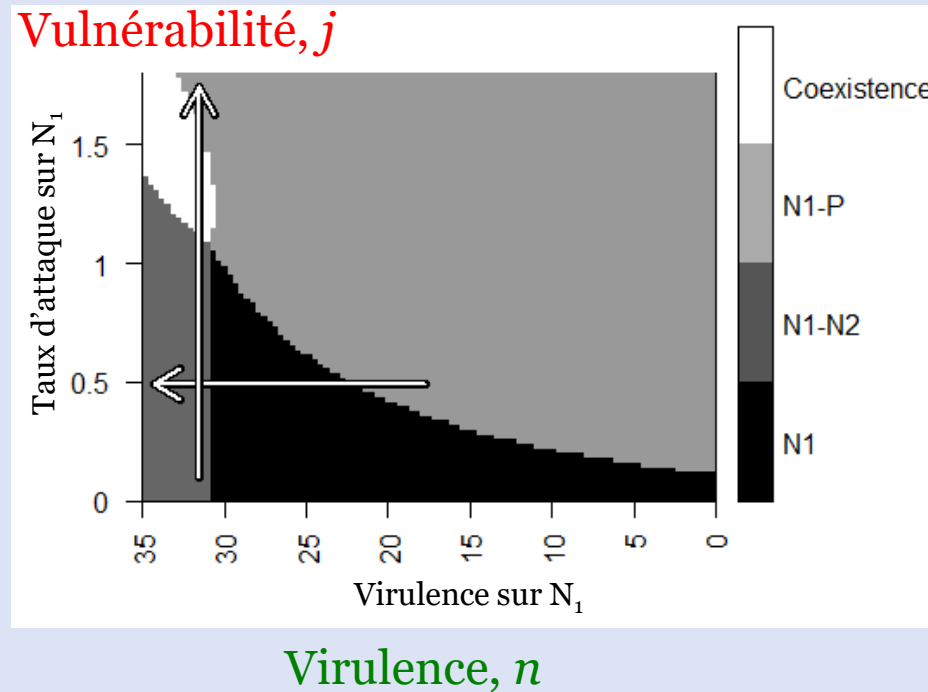
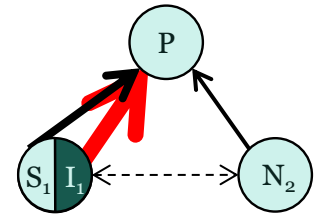


- Virulence, n
- Vulnérabilité, j

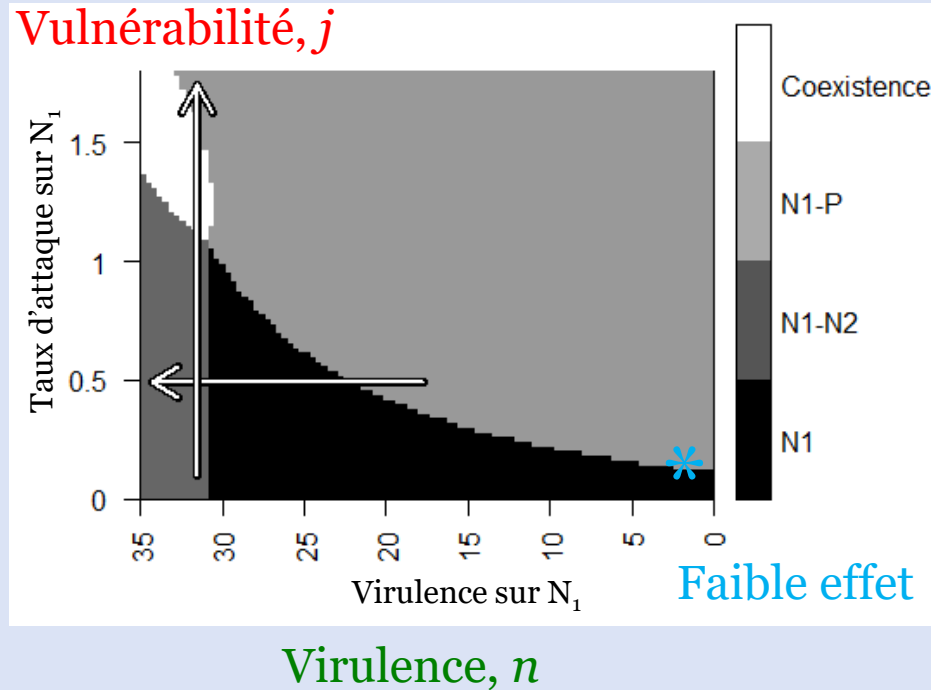
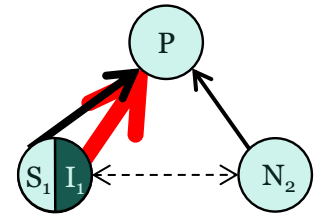
Le modèle structuré



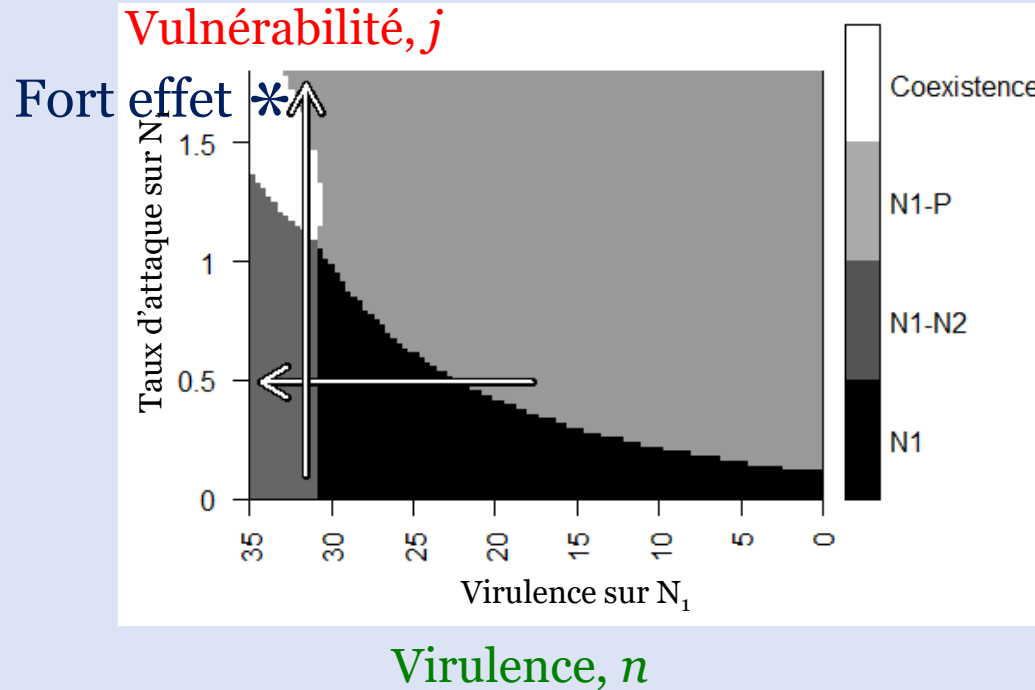
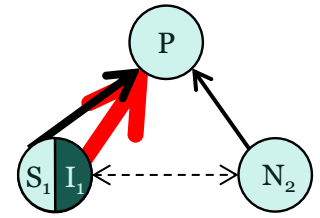
Le modèle structuré



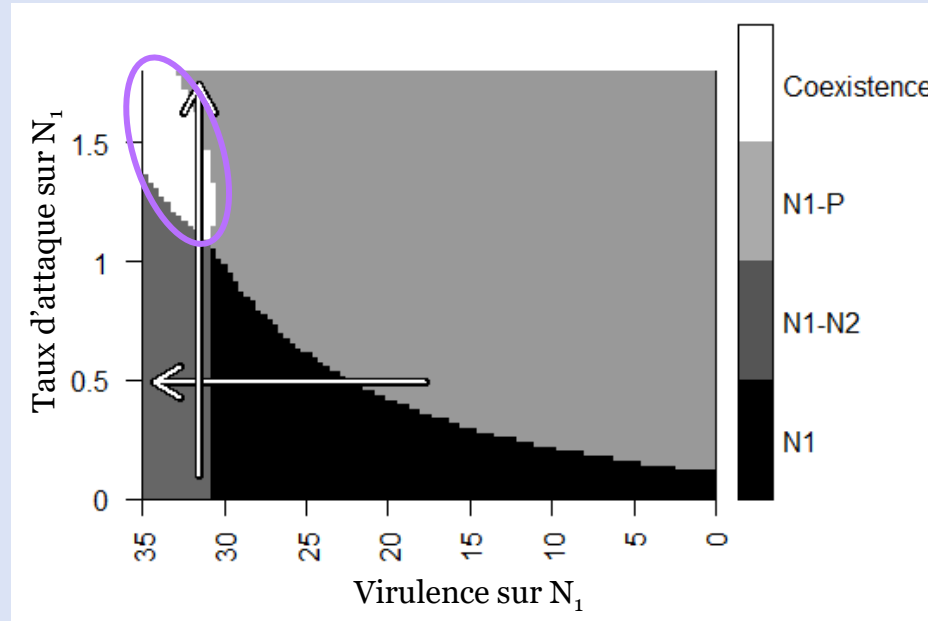
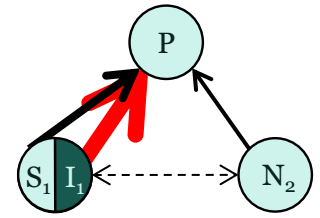
Le modèle structuré



Le modèle structuré



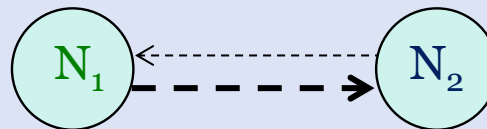
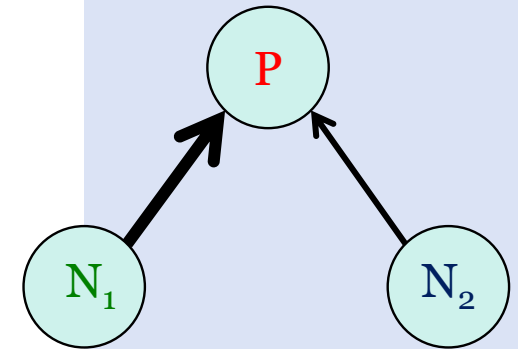
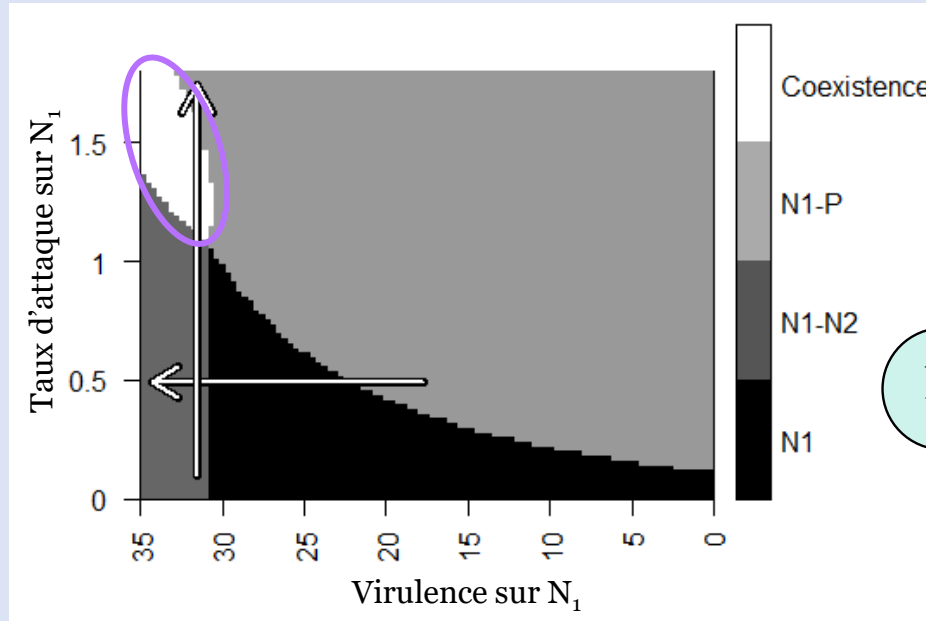
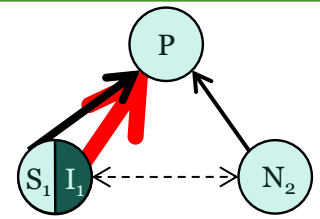
Le modèle structuré



Coexistence :

- Virulence: $\searrow \nearrow$ ou \nearrow
- Vulnérabilité: \nearrow
- Effets synergétiques favorisant la coexistence

Le modèle structuré



Le modèle évolutif

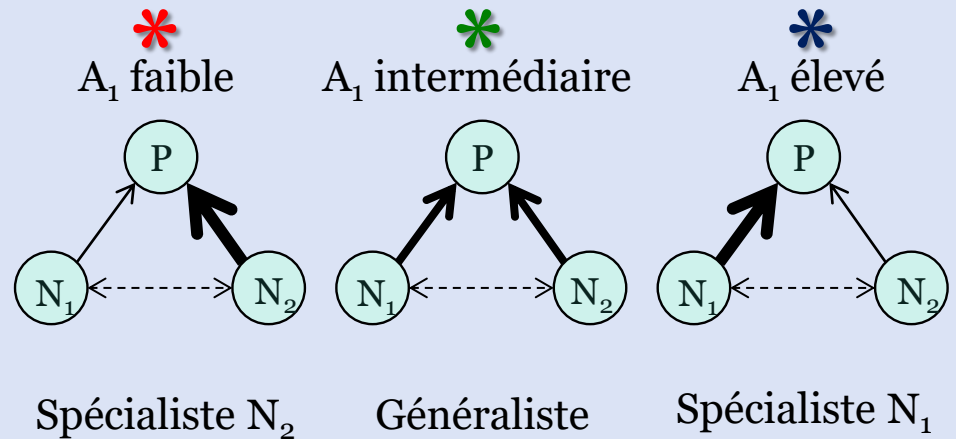
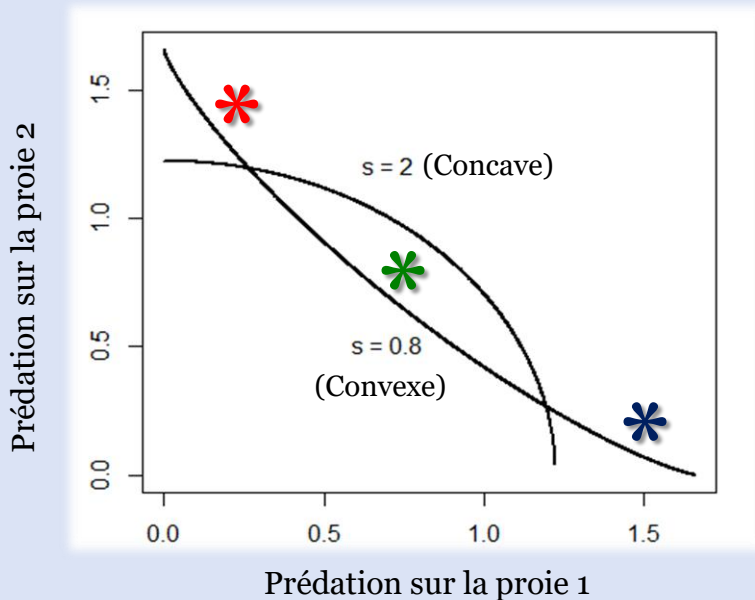


- Ajout d'un trade-off sur la prédation (choix de la proie)

Le modèle évolutif



- Ajout d'un trade-off sur la prédation (choix de la proie)



Adaptive foraging par dynamique adaptative



- Fitness relative d'un mutant rare a_{1m}

$$\omega(a_{1m}, a_1) = \frac{1}{P(a_{1m})} \frac{dP(a_{1m})}{dt} \Bigg|_{\substack{P(a_{1m}) \rightarrow 0 \\ P(a_1) \rightarrow P^*(a_1)}}$$

Adaptive foraging par dynamique adaptative



- Fitness relative d'un mutant rare a_{1m}

$$\omega(a_{1m}, a_1) = \frac{1}{P(a_{1m})} \frac{dP(a_{1m})}{dt} \Bigg|_{\substack{P(a_{1m}) \rightarrow 0 \\ P(a_1) \rightarrow P^*(a_1)}}$$

- Équation canonique

$$\frac{da_1}{dt} = \frac{1}{2} \mu(a_1) \sigma^2(a_1) P^*(a_1) \frac{\partial \omega(a_{1m}, a_1)}{\partial a_{1m}} \Bigg|_{a_{1m} \rightarrow a_1}$$



Gradient de sélection

Adaptive foraging par dynamique adaptative



- Singularité évolutive
 - → les racines du gradient donnent les singularités \bar{a}_1

Adaptive foraging par dynamique adaptative



- Singularité évolutive
 - → les racines du gradient donnent les singularités \bar{a}_1
- Caractérisation des singularités
 - Invasibilité

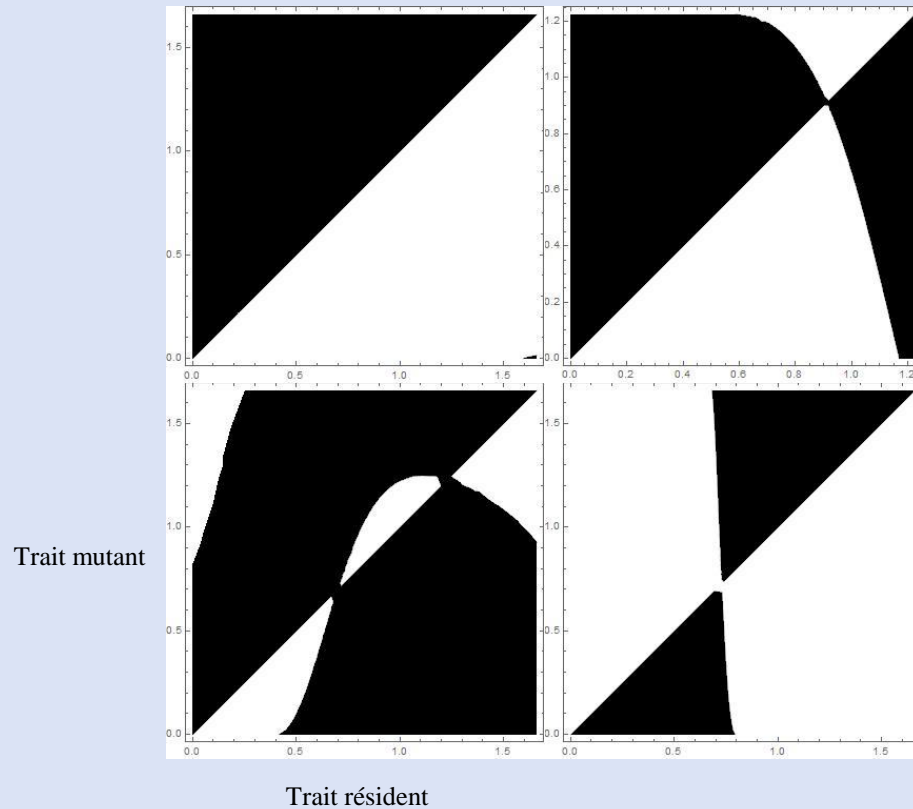
Convergence

$$c_{22} = \left. \frac{\partial^2 \omega}{\partial a_{1m}^2} \right|_{a_{1m} \rightarrow a_1 \rightarrow \bar{a}_1} > 0$$

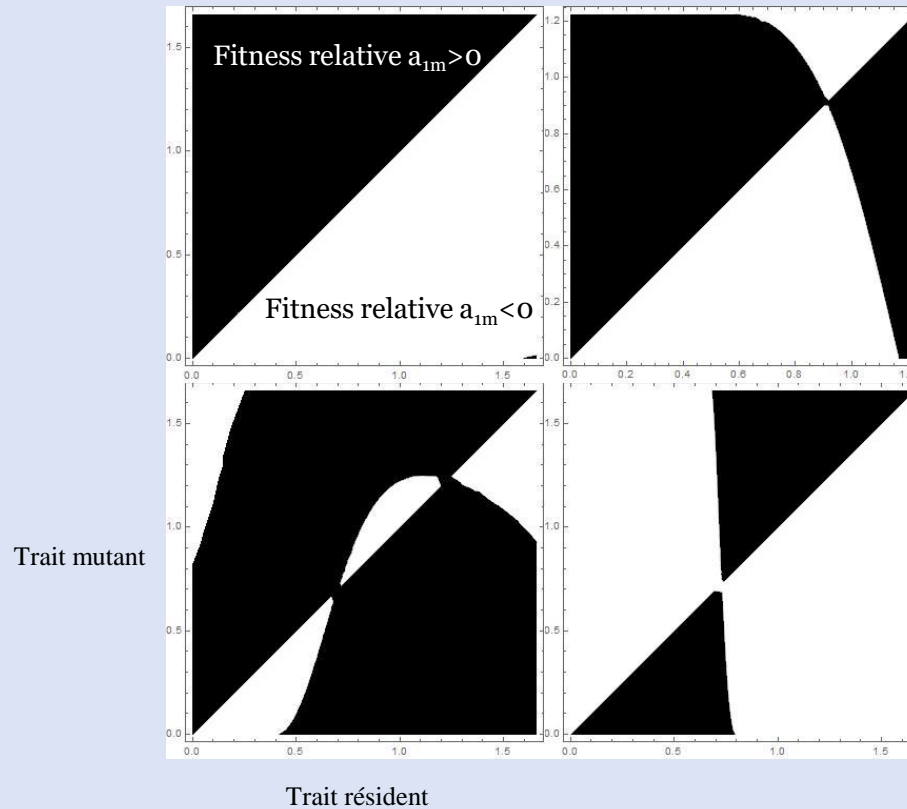
$$c_{22} + c_{12} = \left. \frac{\partial^2 \omega}{\partial a_{1m}^2} \right|_{a_{1m} \rightarrow a_1 \rightarrow \bar{a}_1} + \left. \frac{\partial^2 \omega}{\partial a_1 \partial a_{1m}} \right|_{a_{1m} \rightarrow a_1 \rightarrow \bar{a}_1} < 0$$

	Non-invasible	Invasible
Convergent	CSS (Continuously Stable Strategy)	EBP (Evolutionary Branching Point)
Non-convergent	Jardin d'Eden	Repellor

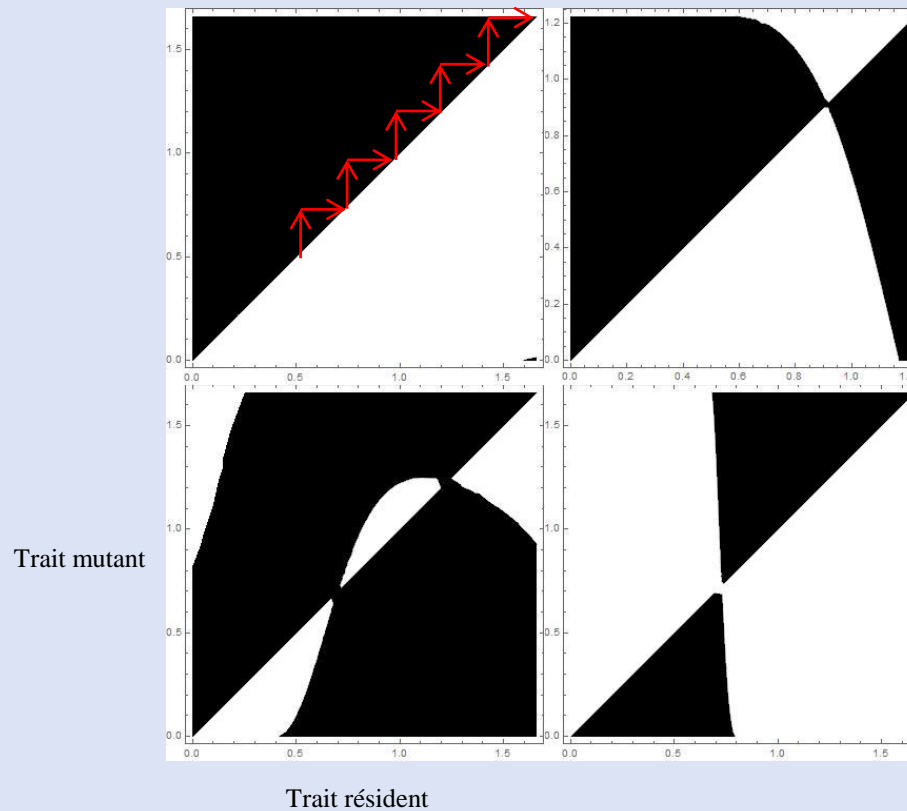
Pairwise Invasibility Plot (PIP)



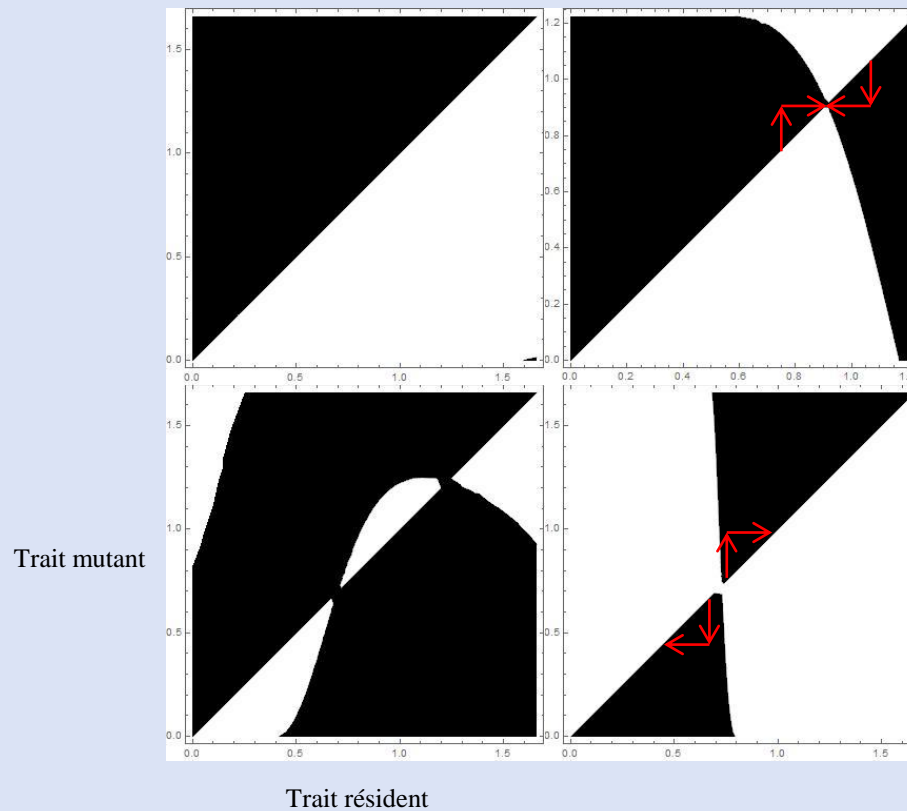
Pairwise Invasibility Plot (PIP)



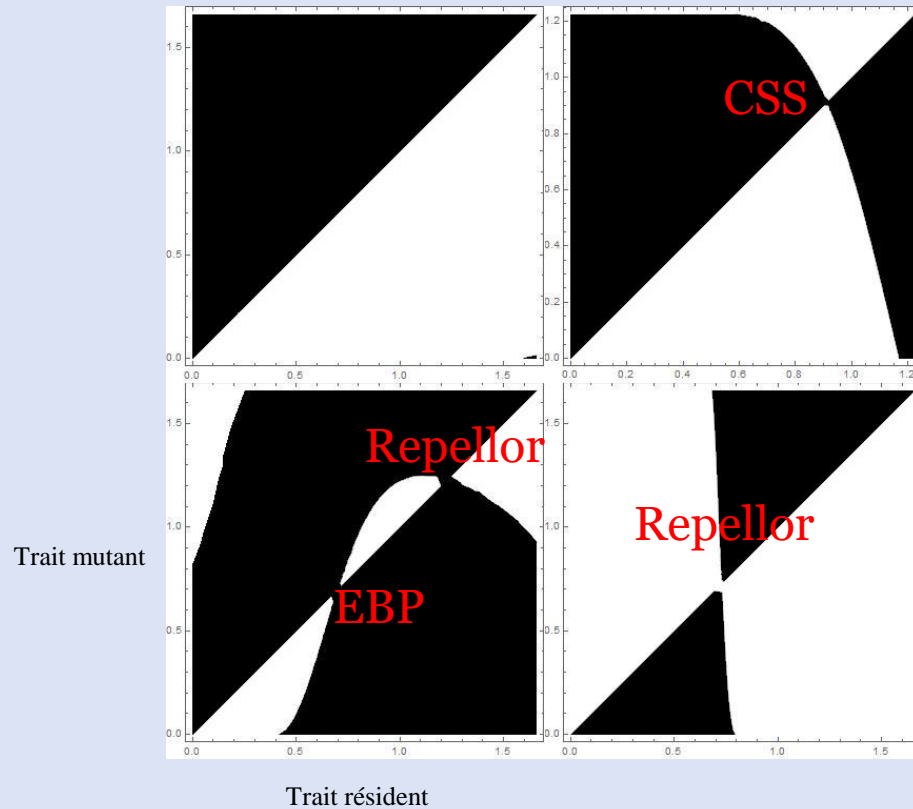
Pairwise Invasibility Plot (PIP)



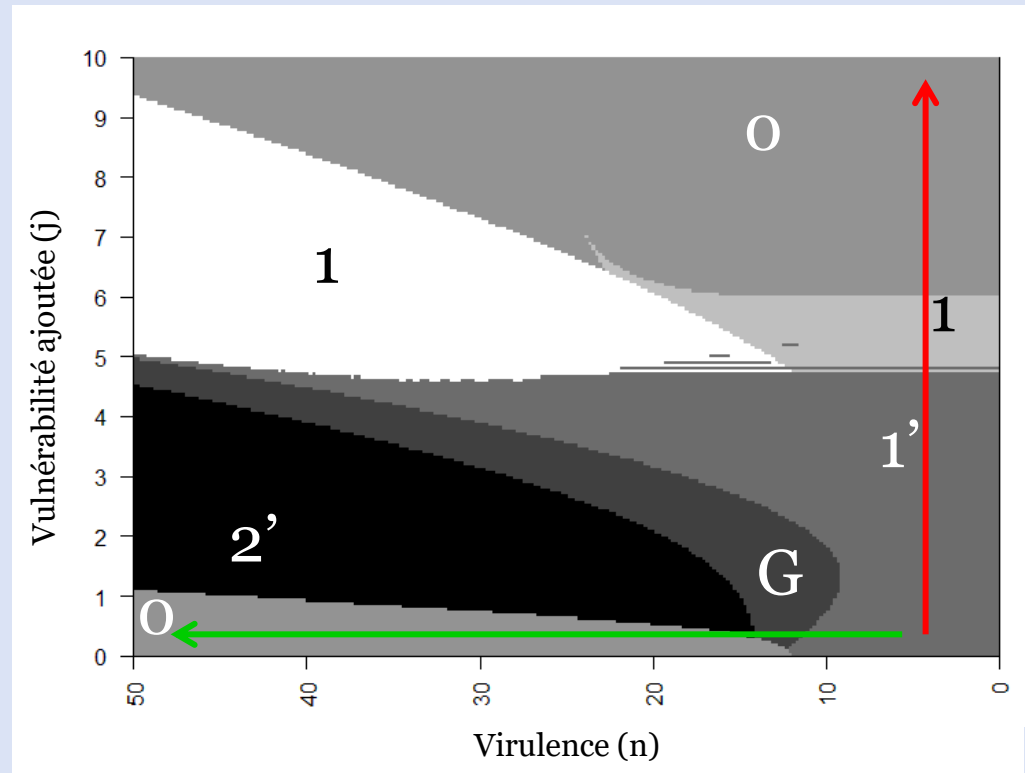
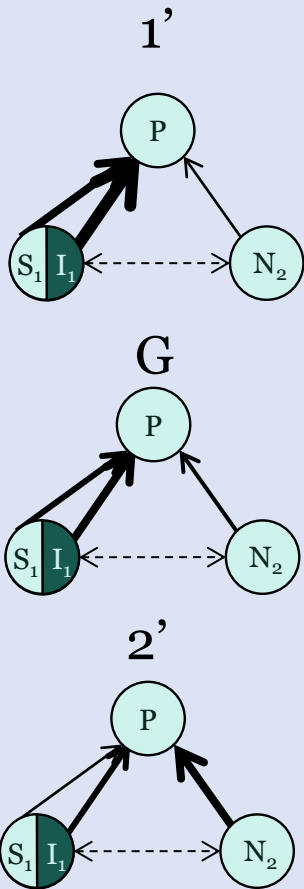
Pairwise Invasibility Plot (PIP)



Pairwise Invasibility Plot (PIP)

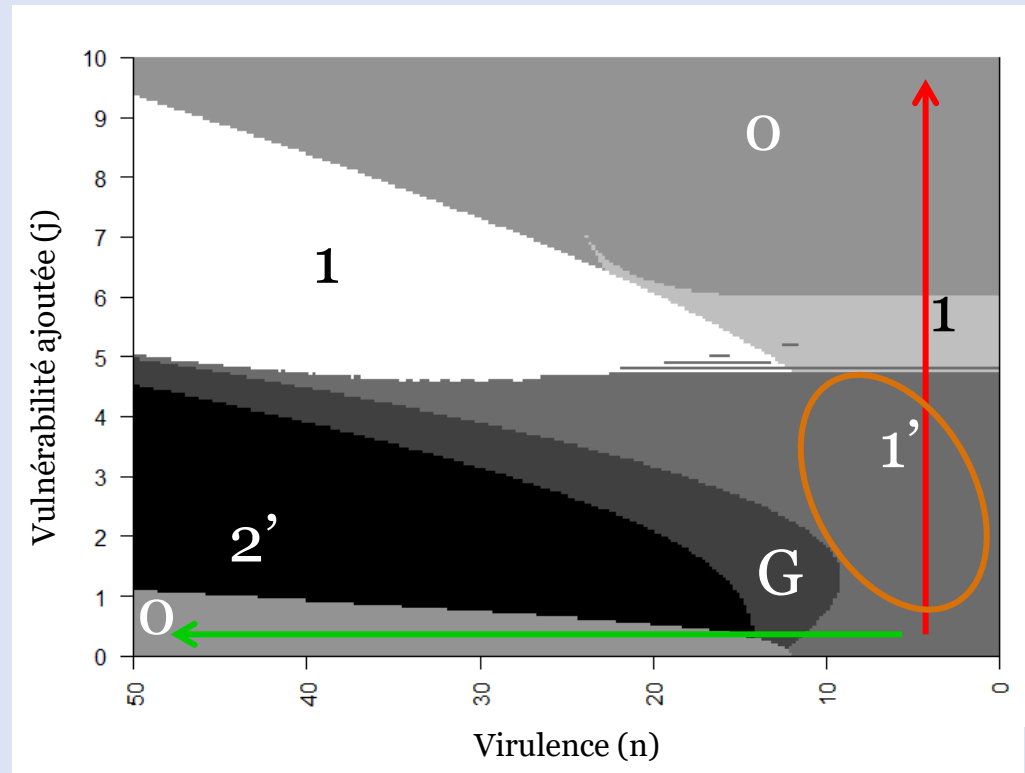
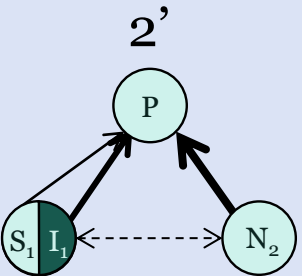
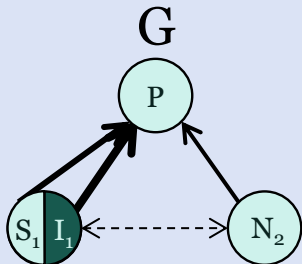
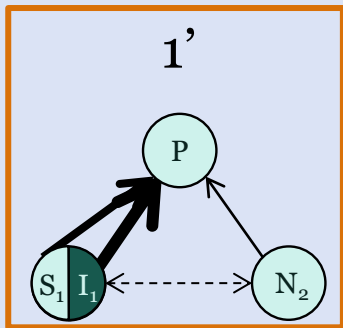


Trade-off convexe



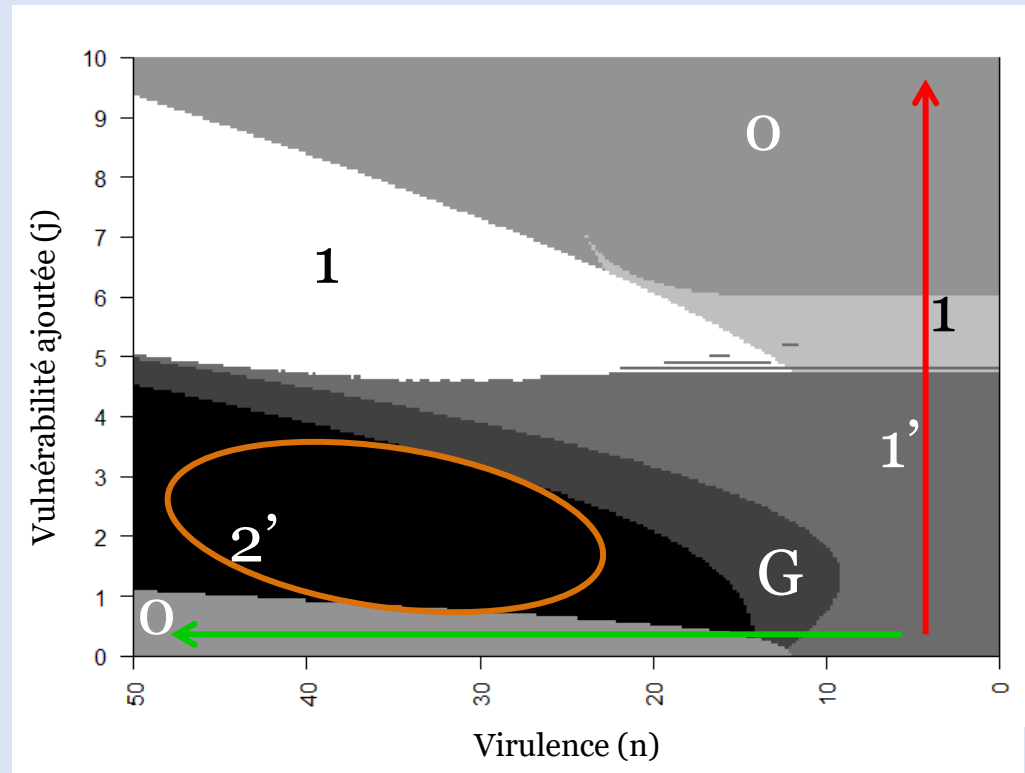
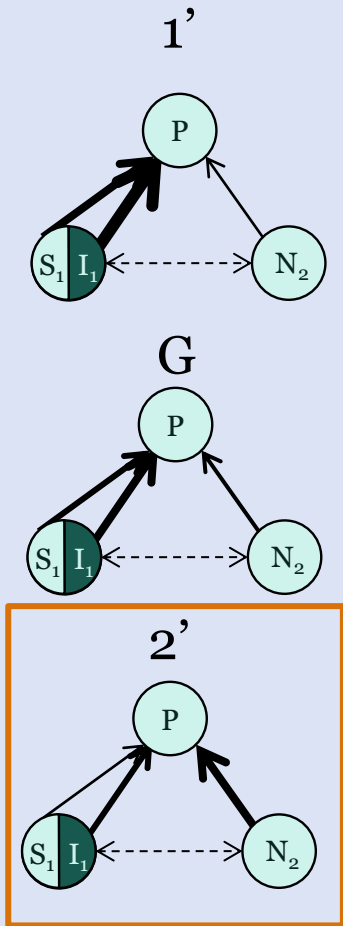
- 0 : perte du prédateur
- 1 : spécialiste N_1 exclusive
- 2 : spécialiste N_2 exclusive
- 1' : spécialiste N_1 non-exclusif
- 2' : spécialiste N_2 non-exclusif
- G : généraliste

Trade-off convexe



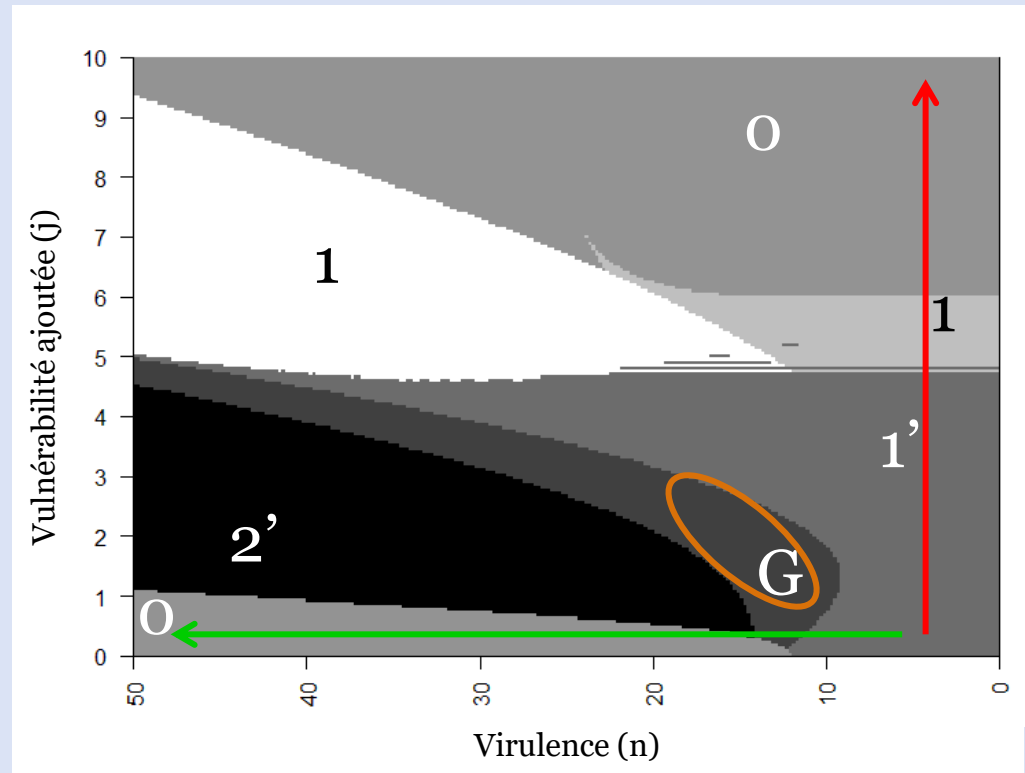
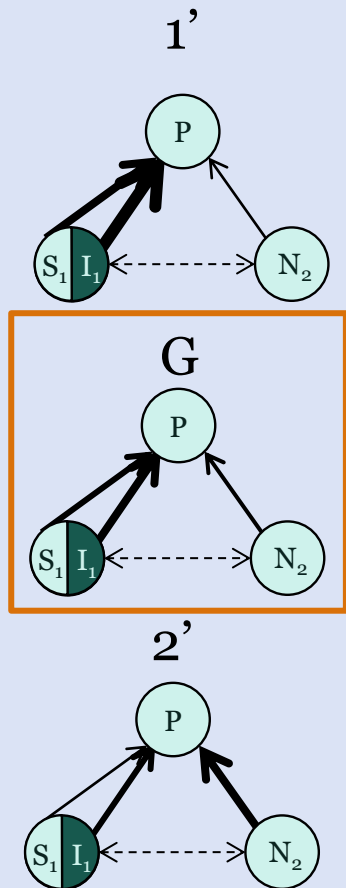
- 0 : perte du prédateur
- 1 : spécialiste N_1 exclusive
- 2 : spécialiste N_2 exclusive
- 1' : spécialiste N_1 non-exclusif
- 2' : spécialiste N_2 non-exclusif
- G : généraliste

Trade-off convexe



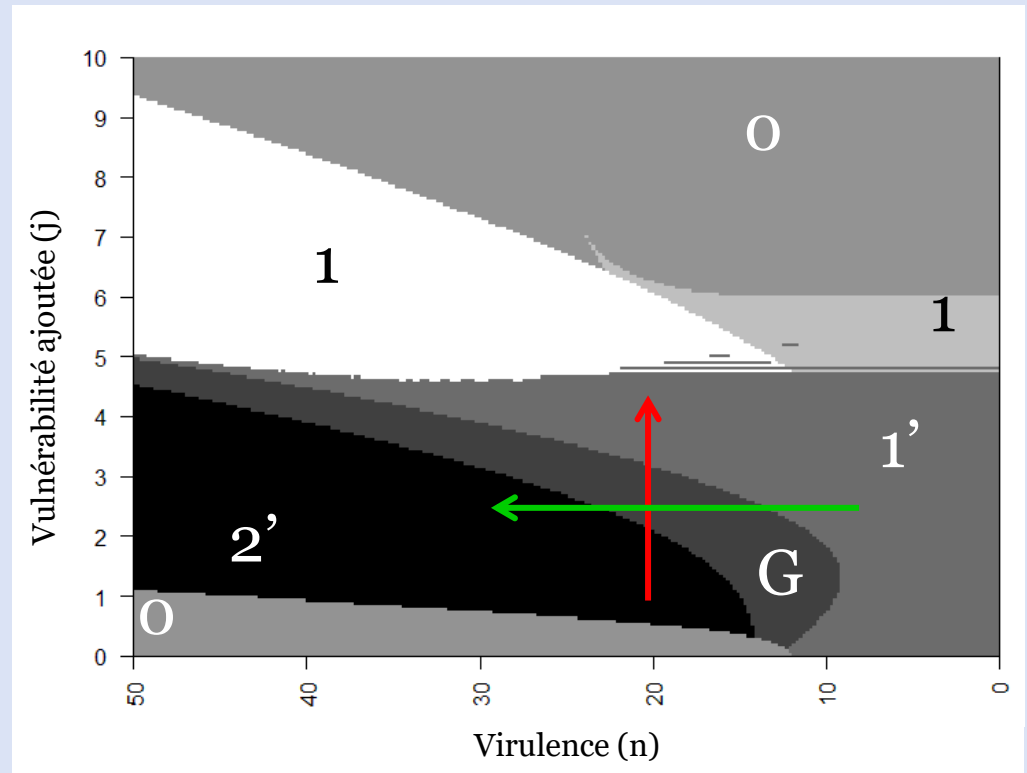
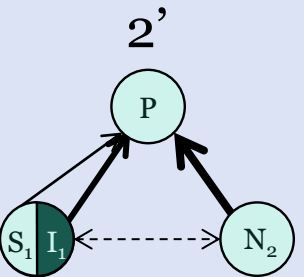
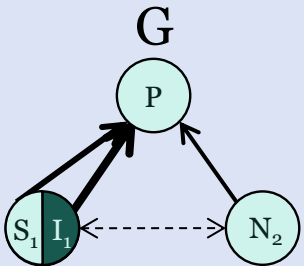
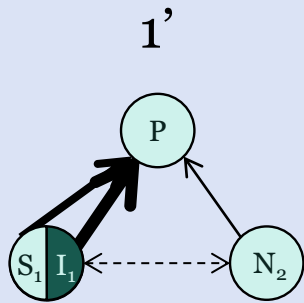
- 0 : perte du prédateur
- 1 : spécialiste N_1 exclusive
- 2 : spécialiste N_2 exclusive
- 1' : spécialiste N_1 non-exclusif
- 2' : spécialiste N_2 non-exclusif
- G : généraliste

Trade-off convexe



- 0 : perte du prédateur
- 1 : spécialiste N_1 exclusive
- 2 : spécialiste N_2 exclusive
- 1' : spécialiste N_1 non-exclusif
- 2' : spécialiste N_2 non-exclusif
- G : généraliste

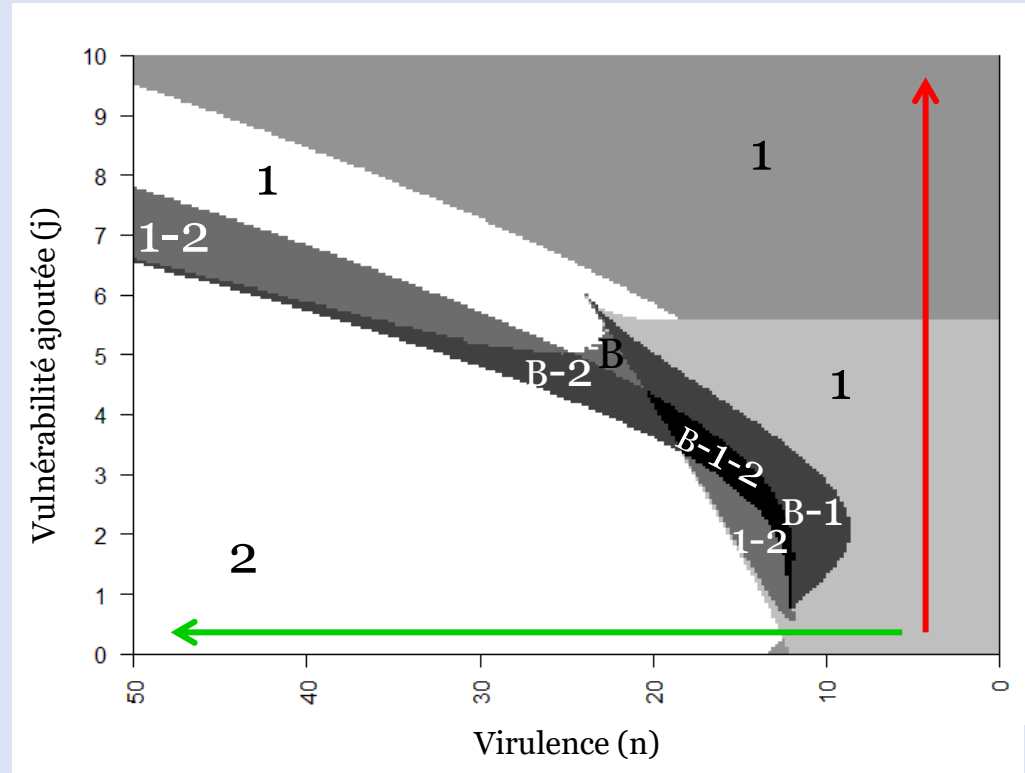
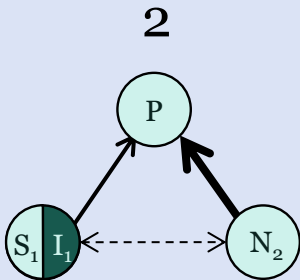
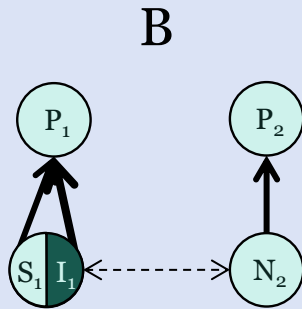
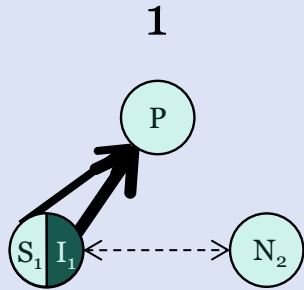
Trade-off convexe



Effet antagoniste

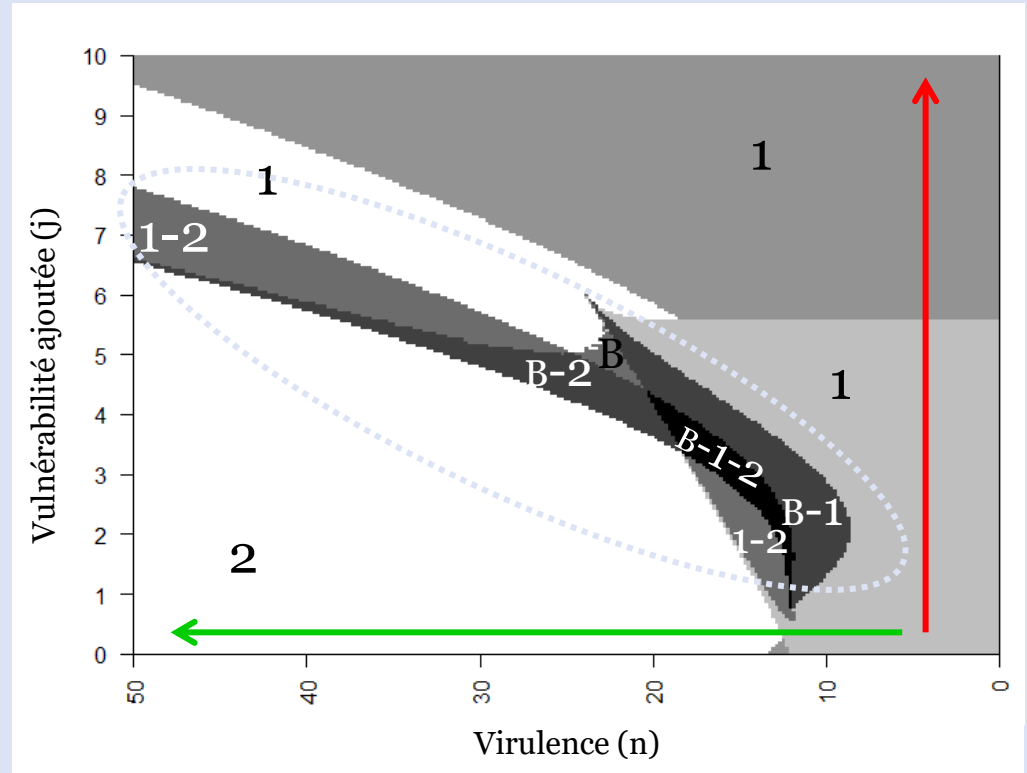
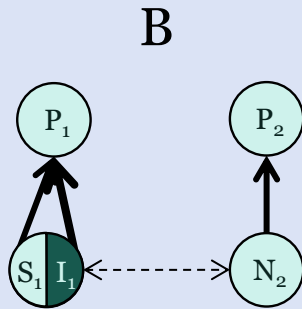
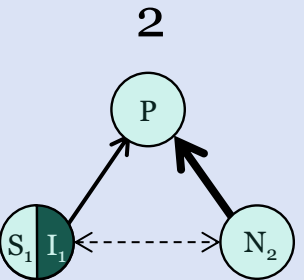
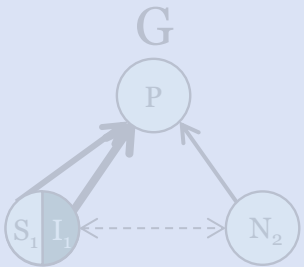
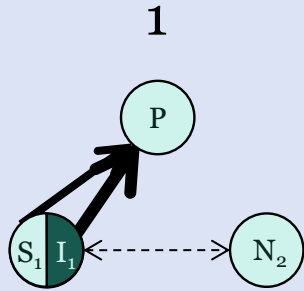
- 0 : perte du prédateur
- 1 : spécialiste N_1 exclusive
- 2 : spécialiste N_2 exclusive
- 1' : spécialiste N_1 non-exclusif
- 2' : spécialiste N_2 non-exclusif
- G : généraliste

Trade-off concave



1 : spécialiste N_1 exclusif
 2 : spécialiste N_2 exclusif
 B : coexistence de 2 prédateurs

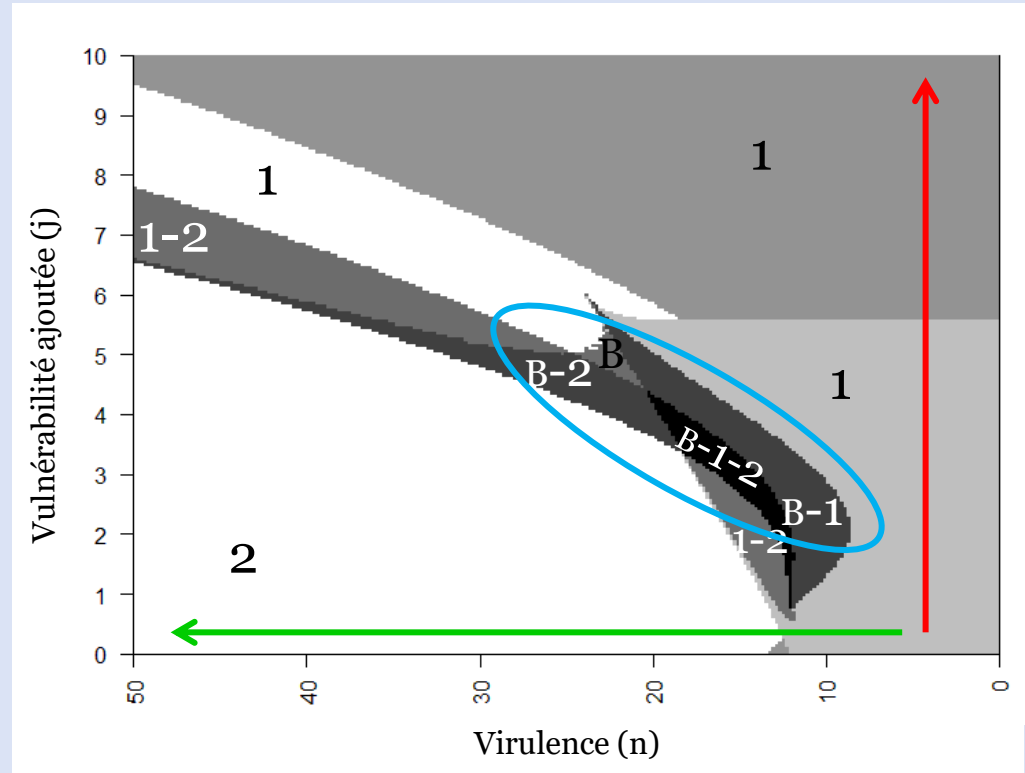
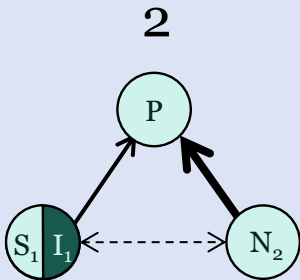
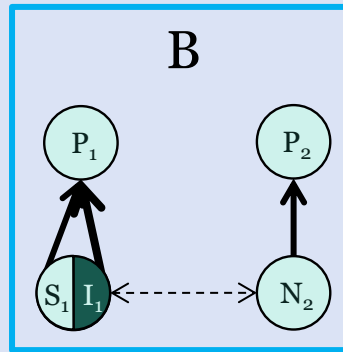
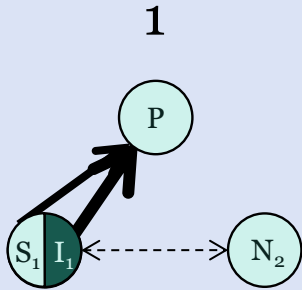
Trade-off concave



Pas de généraliste

- 1 : spécialiste N_1 exclusif
- 2 : spécialiste N_2 exclusif
- B : coexistence de 2 prédateurs

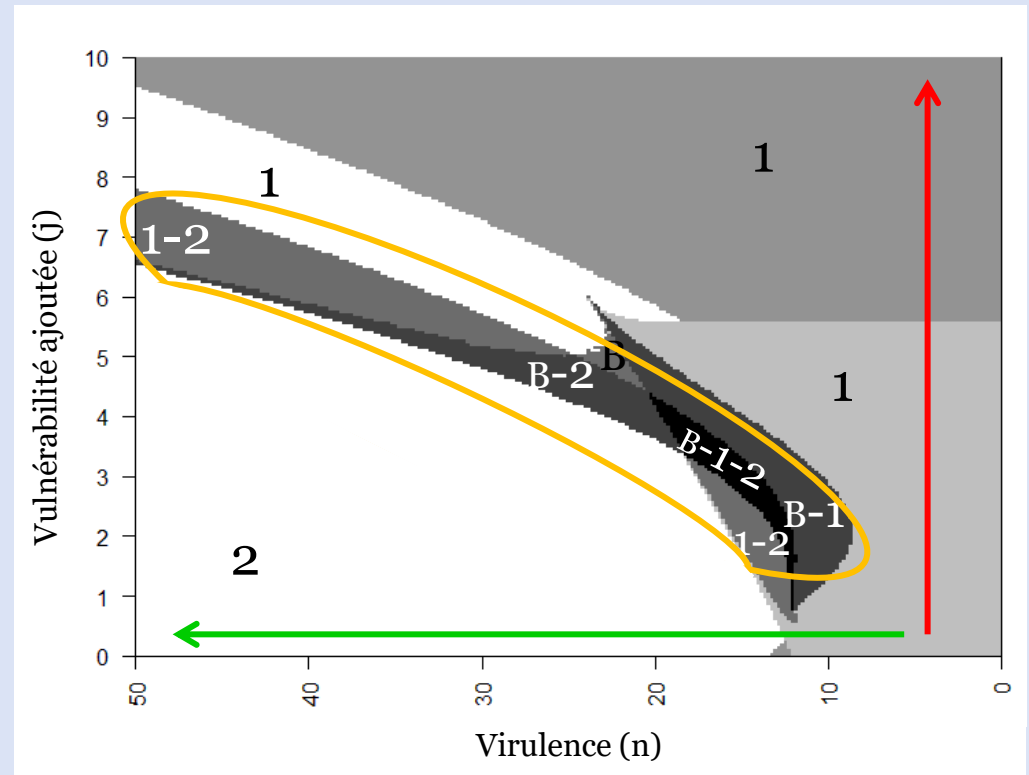
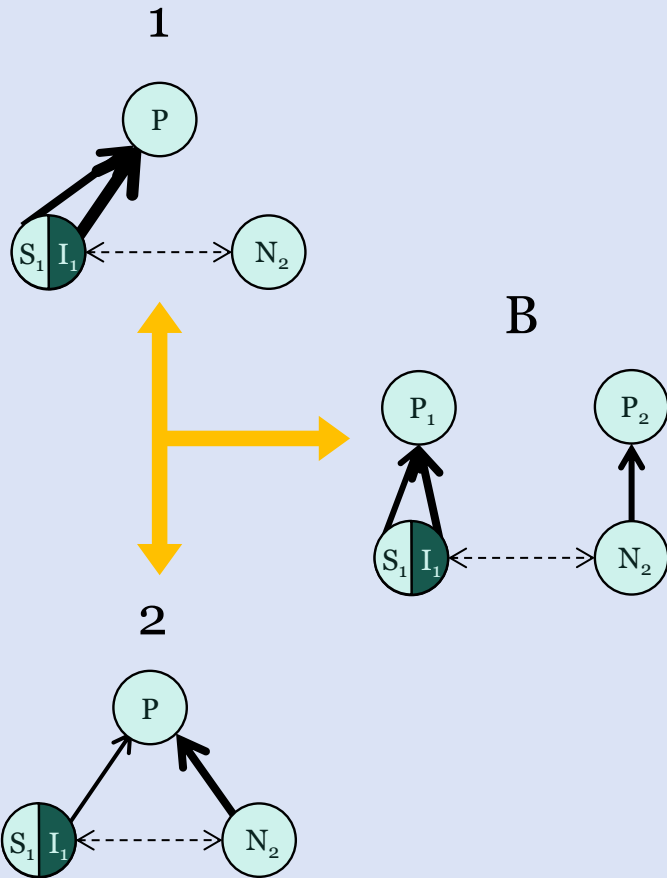
Trade-off concave



Diversification

- 1 : spécialiste N_1 exclusif
- 2 : spécialiste N_2 exclusif
- B : coexistence de 2 prédateurs

Trade-off concave



Multistabilité évolutive

- 1 : spécialiste N_1 exclusif
- 2 : spécialiste N_2 exclusif
- B : coexistence de 2 prédateurs

Conclusion : approche théorique



- Effets du parasitisme
 - Distinction : effets virulence / interaction (vulnérabilité)

Conclusion : approche théorique



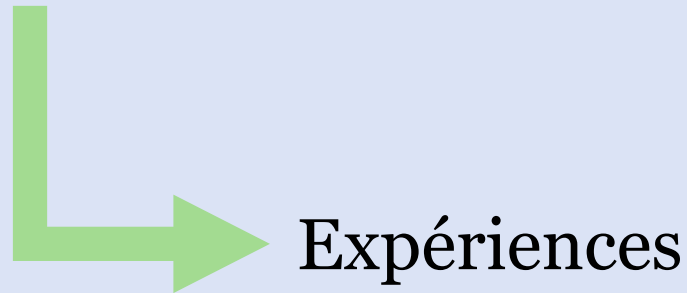
- Effets du parasitisme
 - Distinction : effets virulence / interaction (vulnérabilité)
- Parasitisme de la proie

	Virulence	Vulnérabilité
Coexistence	\nearrow ou \searrow	\nearrow (souvent)
Stabilité	\searrow (souvent)	\searrow (souvent)
Régime	Sur proie non-infecté (N_2)	Sur proie infecté (N_1)

Perspectives : projet expérimental



- Modèles → résultats qualitatifs



Perspectives : projet expérimental



- Tests des hypothèses
 - Effets virulence sur les organismes : fréquemment observé

Perspectives : projet expérimental



- Tests des hypothèses
 - Effets virulence sur les organismes : fréquemment observé
 - Effets interaction : expériences comportementales poisson-daphnie-épibiontes/poisson-Gammare-Acanthocéphale



Phoxinus phoxinus



Daphnia sp. avec
épibiontes
(Péritriches ?)

Perspectives : projet expérimental



- Tests des hypothèses
 - Effets virulence sur les organismes : fréquemment observé
 - Effets interaction : expériences comportementales
poisson-daphnie-épibiontes/poisson-Gammare-Acanthocéphale
 - Profitabilité de la proie parasitée : valeur calorique,
temps de manipulation

Perspectives : projet expérimental



- Tests des hypothèses
 - Effets virulence sur les organismes : fréquemment observé
 - Effets interaction : expériences comportementales
poisson-daphnie-épibiontes/poisson-Gammare-Acanthocéphale
 - Profitabilité de la proie parasitée : valeur calorique,
temps de manipulation
- Test des conclusions
 - Coexistence du système : système planctonique
parasite : virulence ou interaction

Merci de votre attention



Bibliographie (extrait)



- Dieckmann, U., & Law, R., 1996. The dynamical theory of coevolution: a derivation from stochastic ecological processes. *J. Math. Biol.* **34**, 579–612. doi:10.1007/BF02409751
- Hatcher, M.J., Dick, J.T.A., & Dunn, A.M., 2006. How parasites affect interactions between competitors and predators. *Ecol. Lett.* **9**, 1253–1271. doi:10.1111/j.1461-0248.2006.00964.x
- Hutson, V., & Vickers, G.T., 1983. A criterion for permanent coexistence of species, with an application to a two-prey one-predator system. *Math. Biosci.* **63**, 253–269. doi:10.1016/0025-5564(82)90042-6
- Holt, R.D., 1977. Predation, apparent competition, and the structure of prey communities. *Theor. Popul. Biol.* **12**, 197–129. doi:10.1016/0040-5809(77)90042-9
- Lafferty, K.D., Dobson, A.P., & Kuris, A.M., 2006. Parasites dominate food web links. *Proc. Natl. Acad. Sci. U. S. A.* **103**, 11211–11216. doi:10.1073/pnas.0604755103
- Loeuille, N., 2010a. Consequences of adaptive foraging in diverse communities. *Funct. Ecol.* **24**, 18–27. doi:10.1111/j.1365-2435.2009.01617.x
- Loeuille, N., 2010b. Influence of evolution on the stability of ecological communities. *Ecol. Lett.* **13**, 1536–1545. doi:10.1111/j.1461-0248.2010.01545.x
- MacArthur, R.H., & Pianka, E.R., 1966. On Optimal Use of a Patchy Environment. *Am. Nat.* **100**, 603. doi:10.1086/282454
- McCann, K.S., Hastings, A., & Huxel, G.R., 1998. Weak trophic interactions and the balance of nature. *Nature* **395**, 794–798. doi:10.1038/27427
- Pyke, G.H., 1984. Optimal Foraging Theory: A Critical Review. *Annu. Rev. Ecol. Syst.* **15**, 523–575. doi:10.1146/annurev.ecolsys.15.1.523

Comportemental dynamics



- Prediction
 - Parasitism modify repartition of interaction

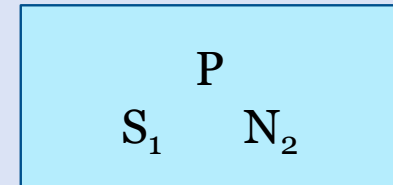
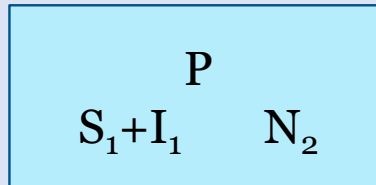
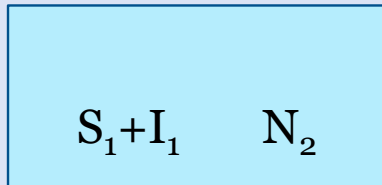
- Biological models
(Predator-Prey-Parasite)
 - Fish-Daphnia-Epibiont
 - Fish-Gammarus-Acanthocephalans



Comportemental dynamics



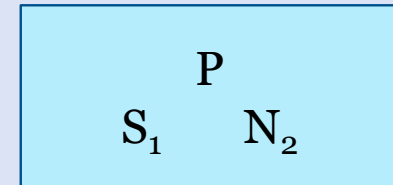
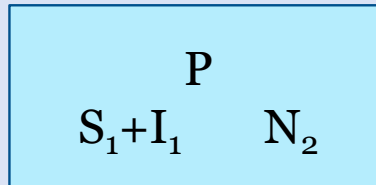
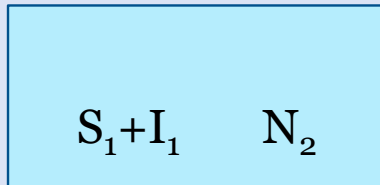
- Experimental design
 - + Carrying capacity
 - + Mesocosm complexity modulation



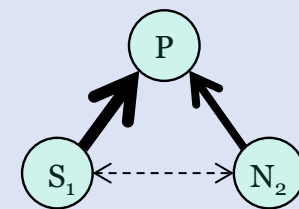
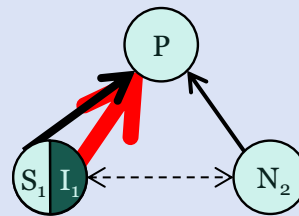
Comportemental dynamics



- Experimental design
 - + Carrying capacity
 - + Mesocosm complexity modulation



- Predictions



Previous works



- Systems
 - Prey-predator
 - Parasitism : Prey and/or predator (often with virulent effect)
SIS ou SIR
- Frequent results
 - Predator loss or parasite loss
 - Stabilising effect

The unstructured model

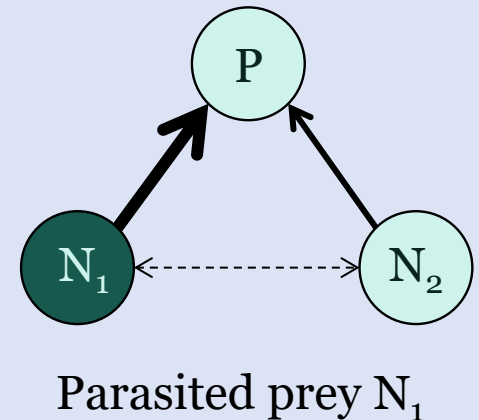


- The model

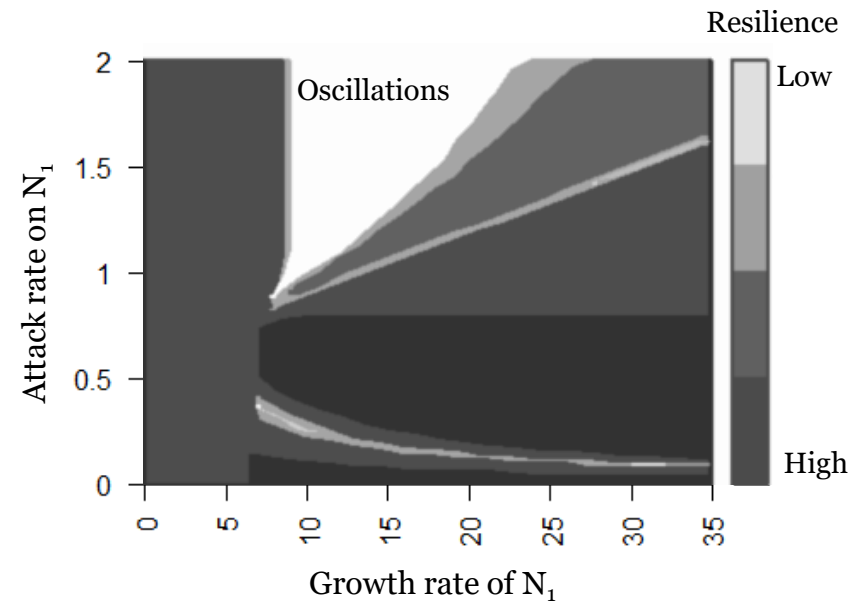
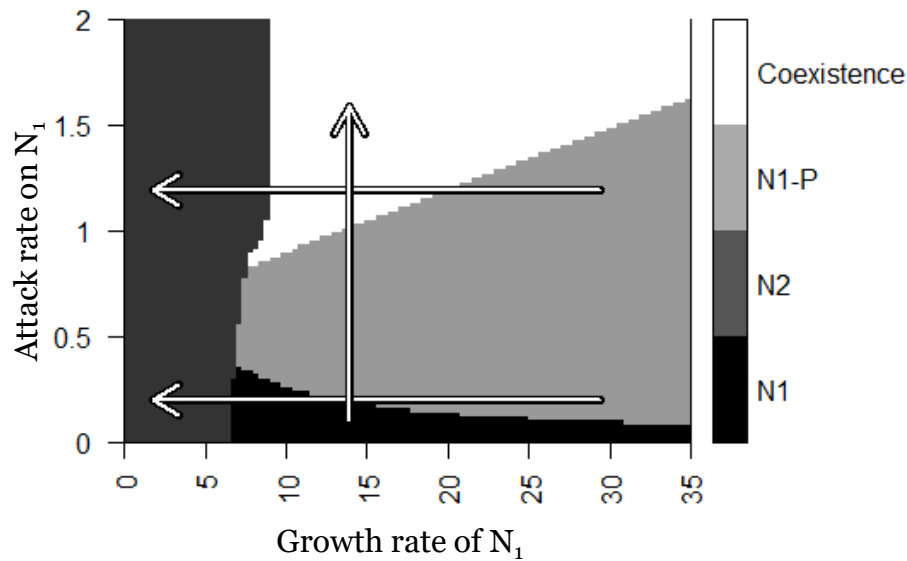
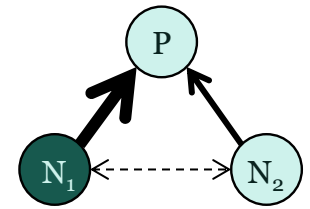
$$\begin{cases} \frac{dN_1}{dt} = N_1(r_1 - b_{11}N_1 - b_{12}N_2 - a_1P) \\ \frac{dN_2}{dt} = N_2(r_2 - b_{21}N_1 - b_{22}N_2 - a_2P) \\ \frac{dP}{dt} = P(ea_1N_1 + ea_2N_2 - m - gP) \end{cases}$$

- Modulation of parameters

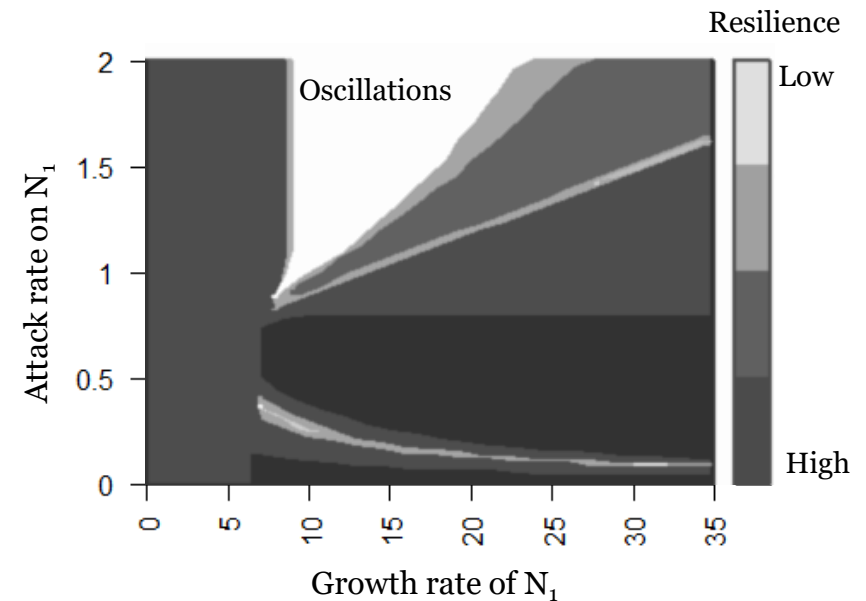
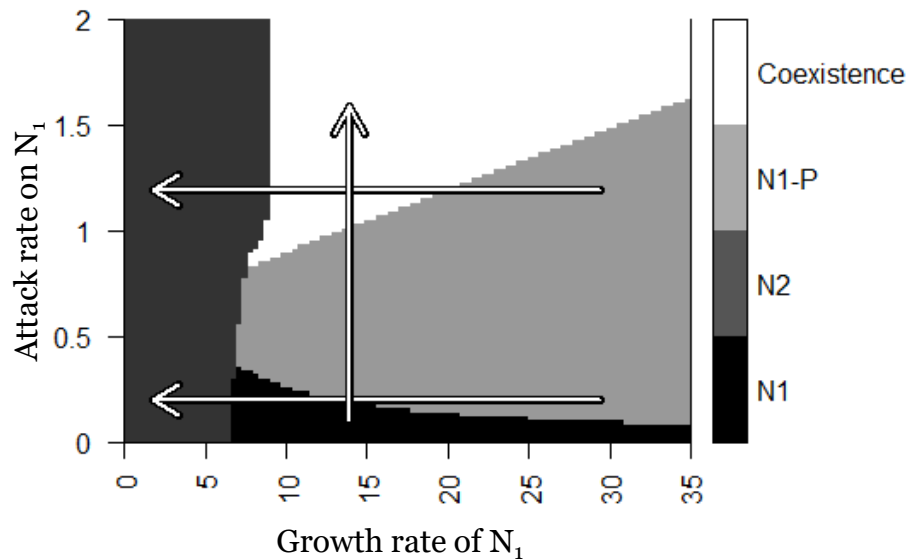
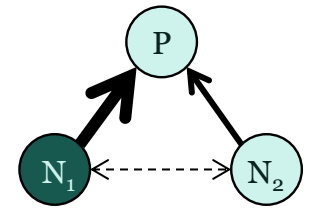
- Virulence effect: $\searrow r_1$
- Interaction effect (vulnerability): $\nearrow a_1$



The unstructured model



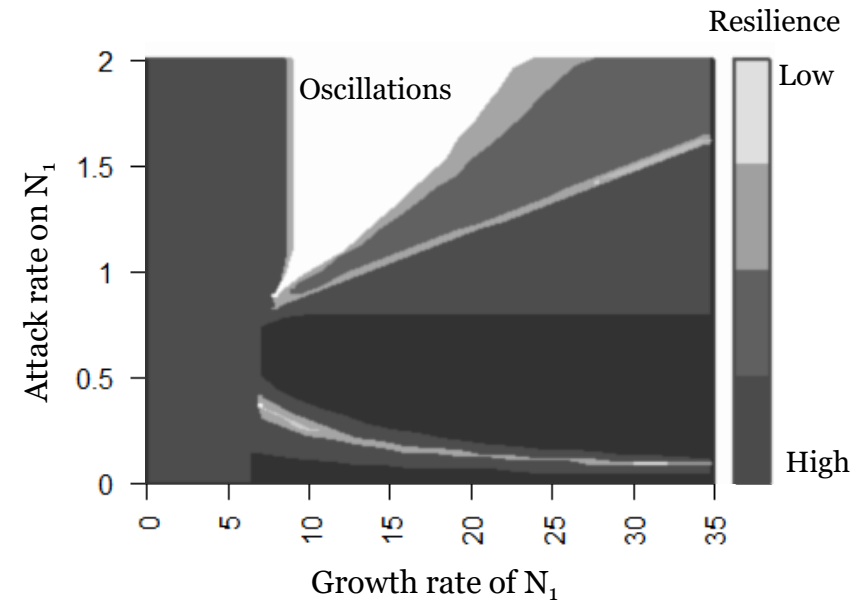
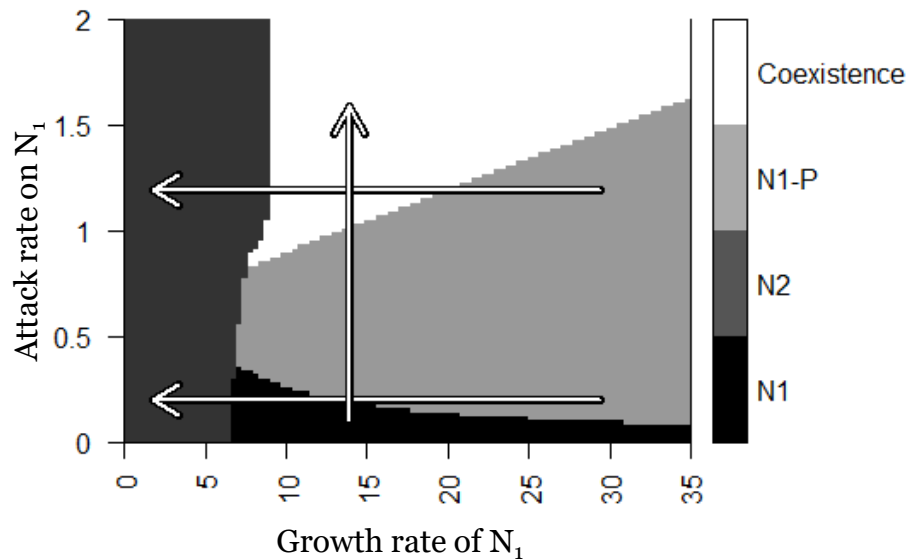
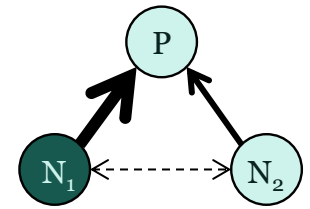
The unstructured model



Coexistence :

- Growth rate: \searrow or $\nearrow \searrow$
- Attack rate: \nearrow
- Antagonistic effects

The unstructured model



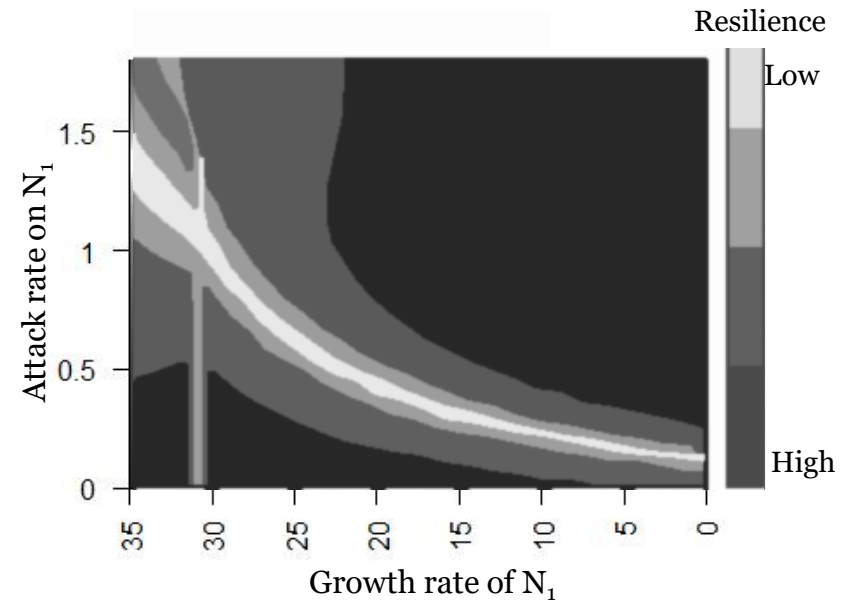
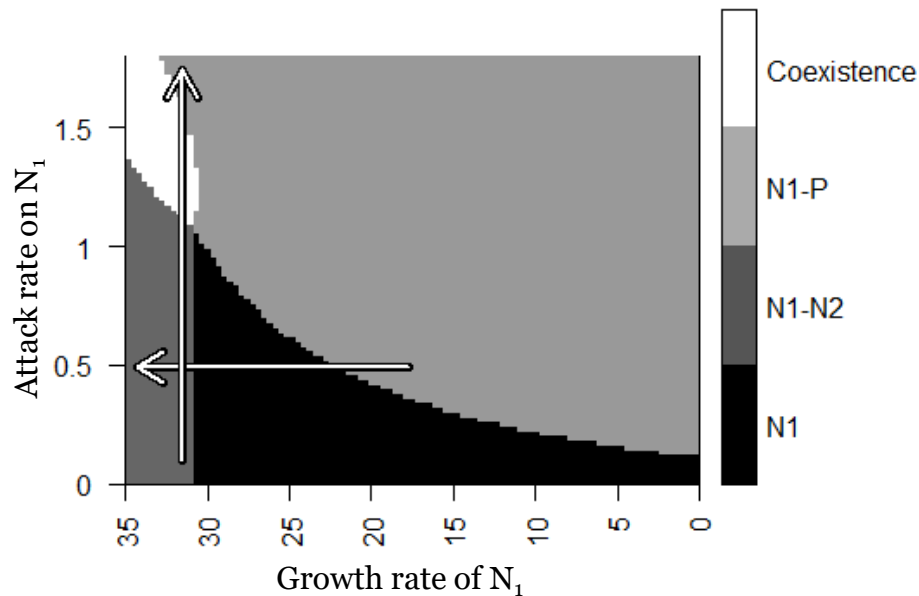
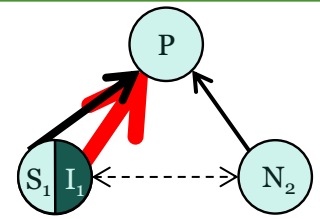
Coexistence :

- Growth rate: \searrow or $\nearrow \searrow$
- Attack rate: \nearrow
- Antagonistic effects

Resilience :

- Growth rate: \searrow
- Attack rate: \searrow
- Synergetic effects of destabilization

The structured model



Coexistence :

- Virulence: $\searrow \nearrow$ ou \nearrow
- Vulnerability: \nearrow
- Synergetic effects promoting coexistence

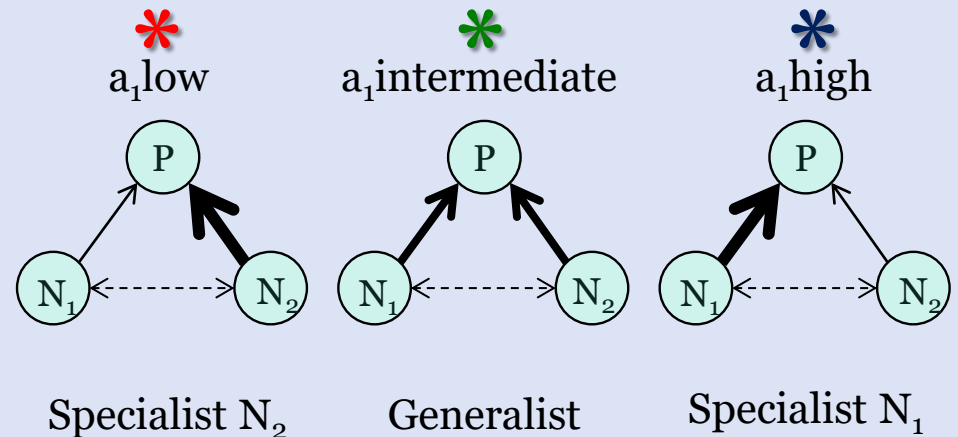
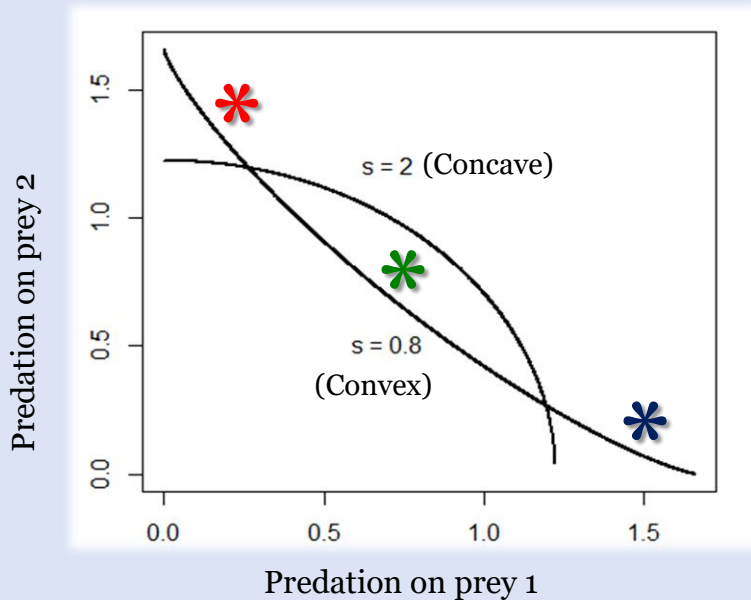
Resilience :

- Virulence: \searrow
- Vulnerability: \searrow
- Synergetic effects of destabilization

The Evolutionary model



- Adding trade-off of predation (prey choice)
 - $a_1^s + a_2^s = k_0 \Leftrightarrow a_2 = (k_0 - a_1^s)^{1/s}$ (Egas *et al.* 2004)



Adaptive foraging by adaptive dynamics



- Adding a trade-off

$$\left\{ \begin{array}{l} \frac{dS_1}{dt} = S_1(f_1 - m_1 - b_{11}N_1 - b_{12}N_2 - a_1P) + I_1((f_1 - n) - iS_1) \\ \frac{dI_1}{dt} = I_1(iS_1 - b_{11}N_1 - b_{12}N_2 - (a_1 + j)P - m_1) \\ \frac{dN_2}{dt} = N_2(r_2 - b_{21}N_1 - b_{22}N_2 - (k_0 - a_1^s)^{1/s}P) \\ \frac{dP}{dt} = P(ea_1N_1 + ejI_1 + e(k_0 - a_1^s)^{1/s}N_2 - m - gP) \end{array} \right.$$

Adaptive foraging by adaptive dynamics



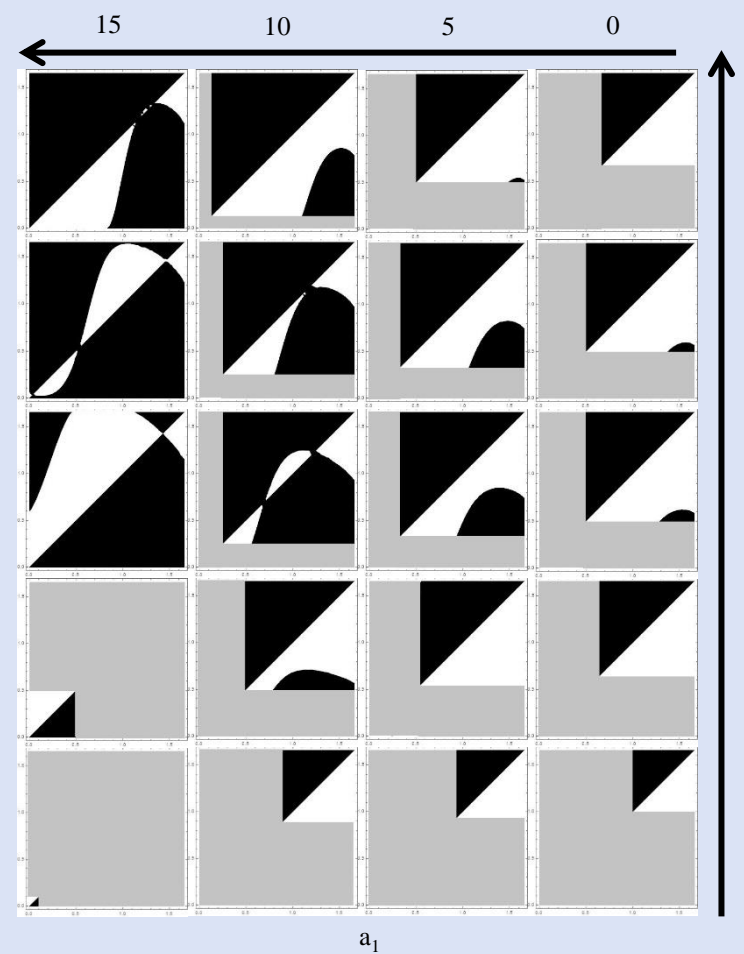
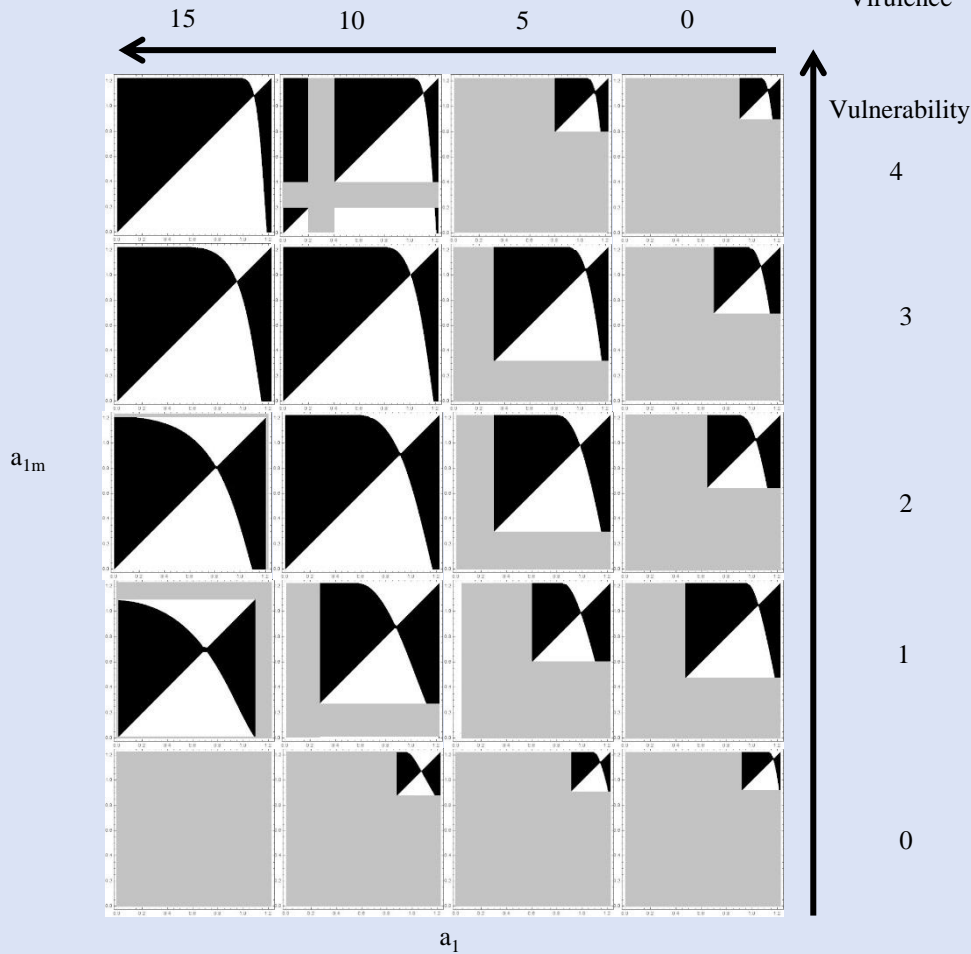
- Ecological system at equilibrium
- Possibility for a mutant to invade

Pairwise Invasibility Plot (PIP)



Concave trade-off

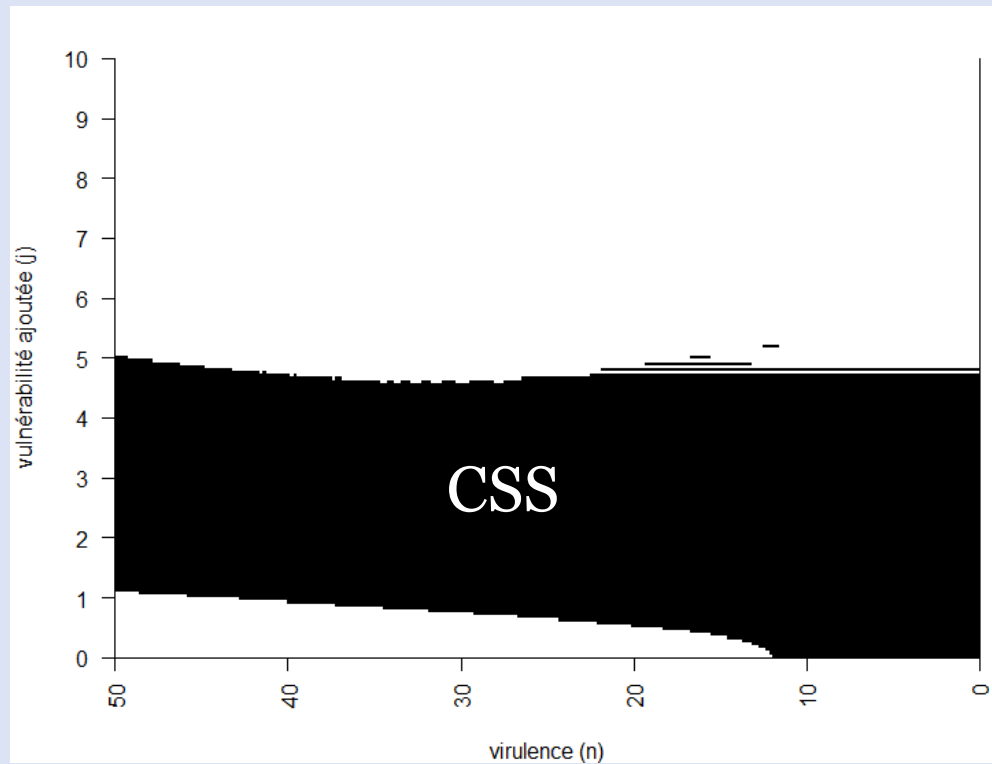
Convex trade-off



Convex trade-off



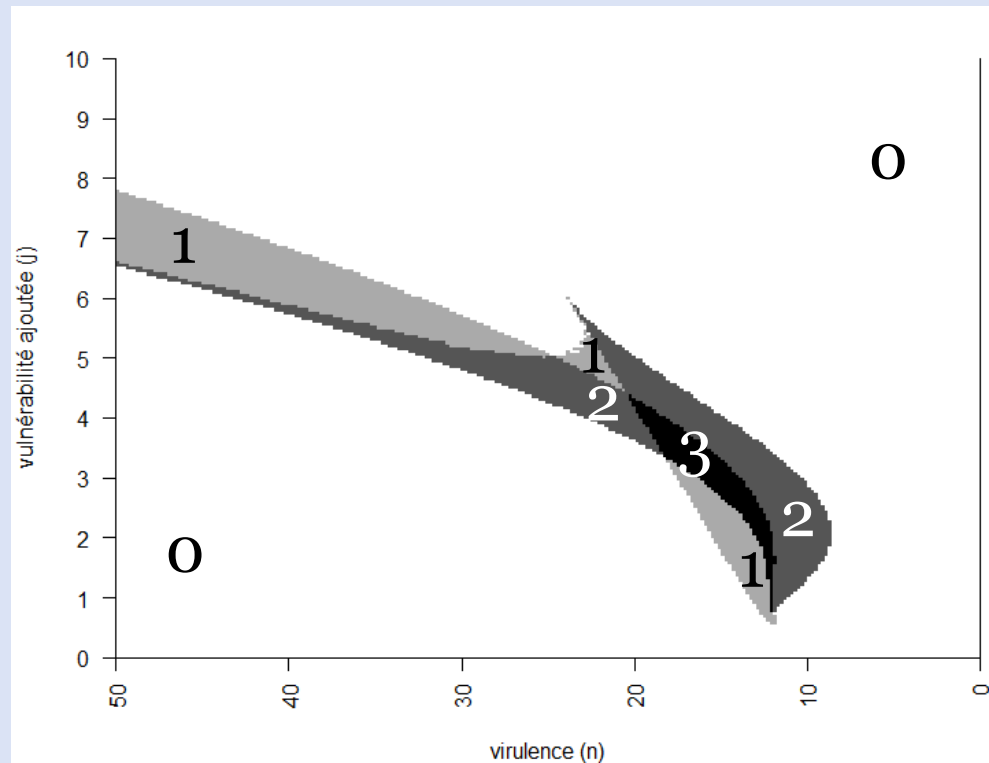
Type of evolutionary singularities



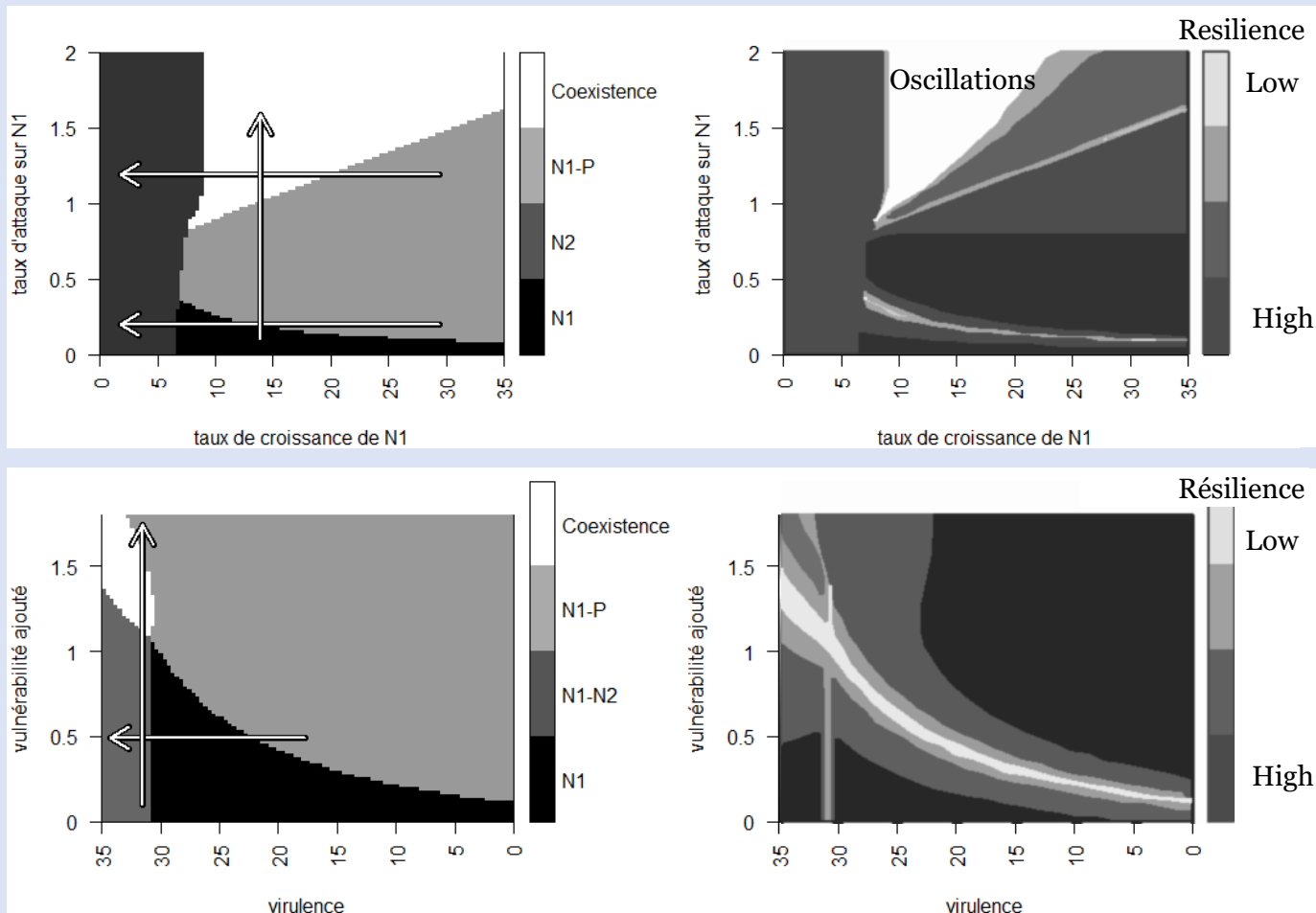
Concave trade-off



Number of evolutionary singularities



Models comparison



Prédictions



- Effets du parasitisme
 - sur la coexistence du module
 - ↗ si parasitisme sur la plus compétitrice – Holt 1977
 - sur la stabilité du module
 - ↗ si parasitisme sur la plus consommée – McCann *et al.* 1998
 - sur le régime alimentaire du prédateur
 - Généralisme si diminue densité de la plus consommée
 - Spécialisme si facilite fortement la proie la plus consommée

Conclusion : modelization of prey parasitism



- Parasitism effects
 - Distinguish : virulence / interaction (vulnerability) effects
- Prey parasitism

	Unstructured	Structured	Evolutionary
	Coexistence		Diet
Virulence	↘	↗	N_2
Vulnerability	↗	↗	N_1
	Stability		
Virulence	↘	↘	
Vulnerability	↘	↘	